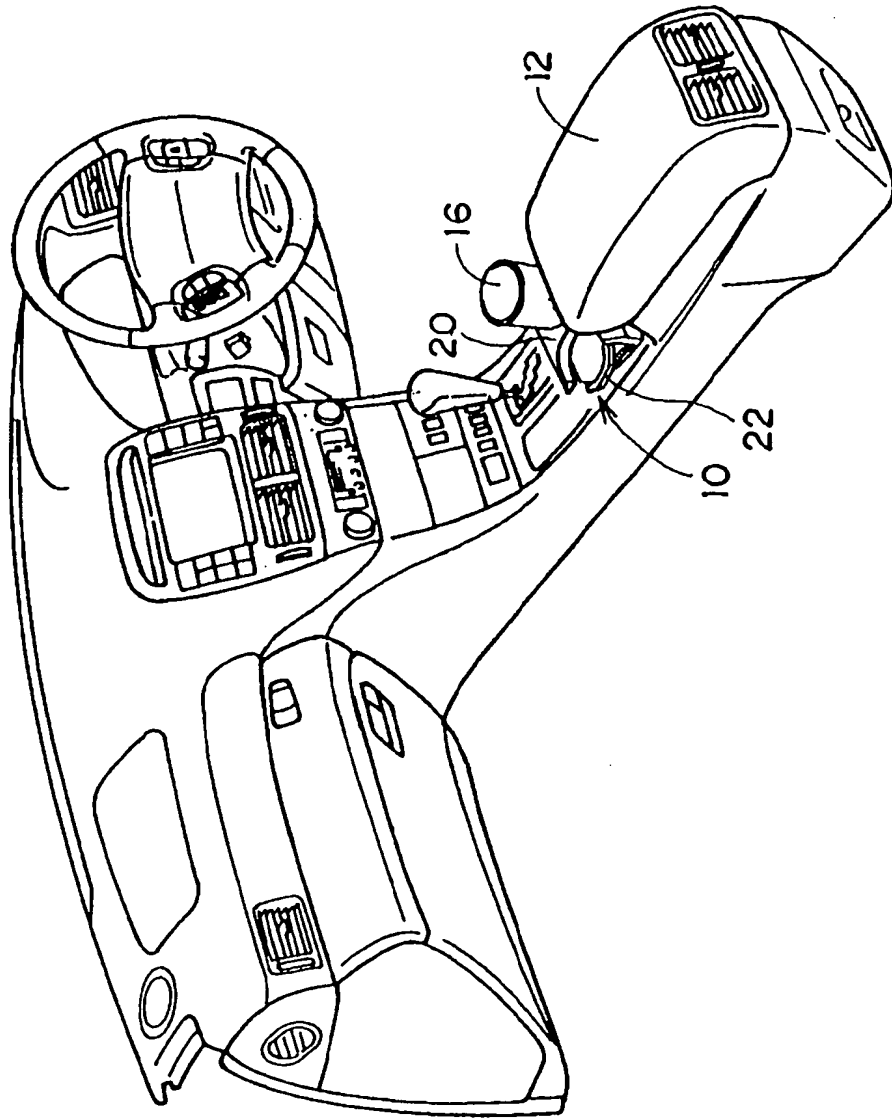


Fig. 1



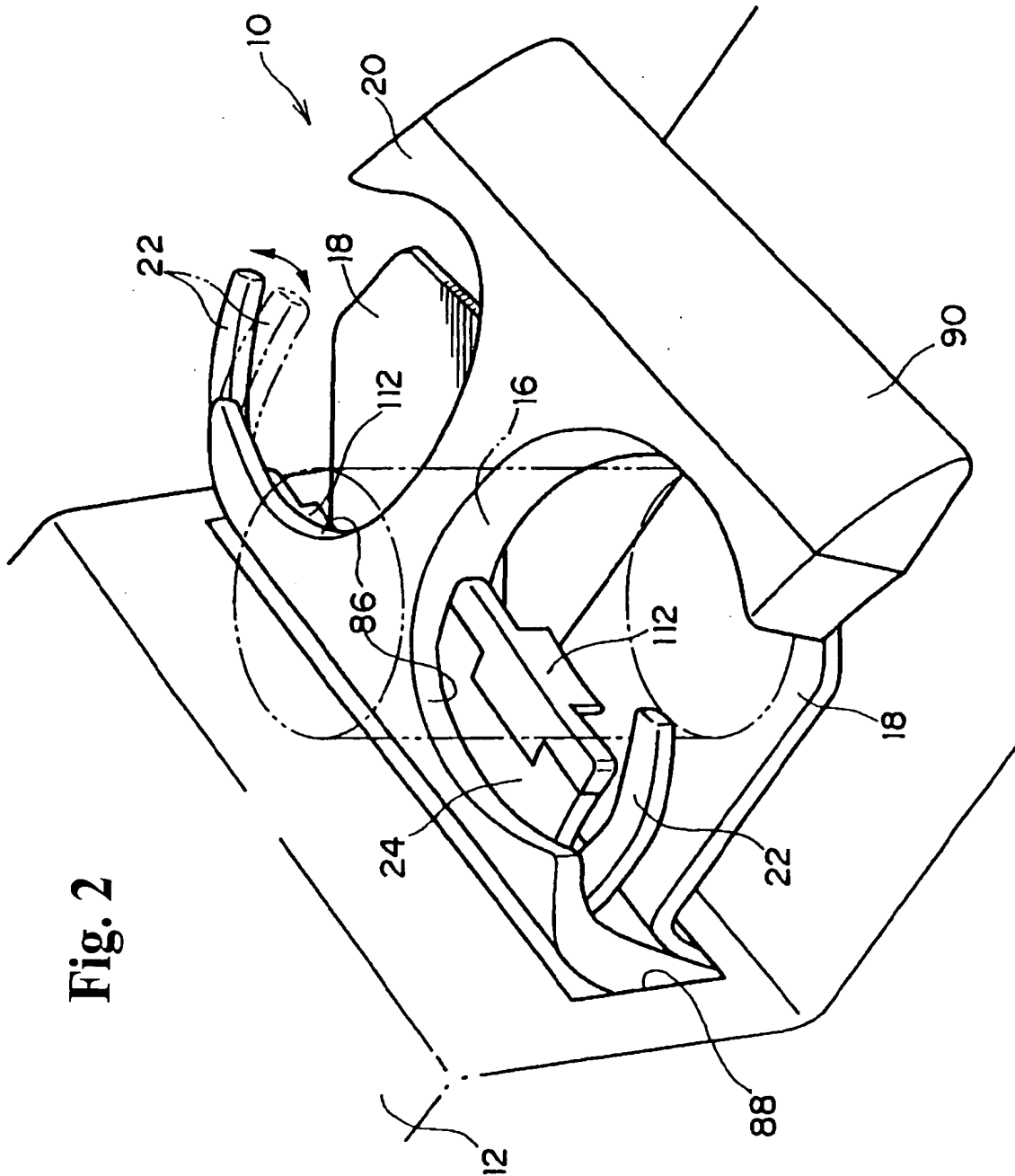


Fig. 2

Fig. 3

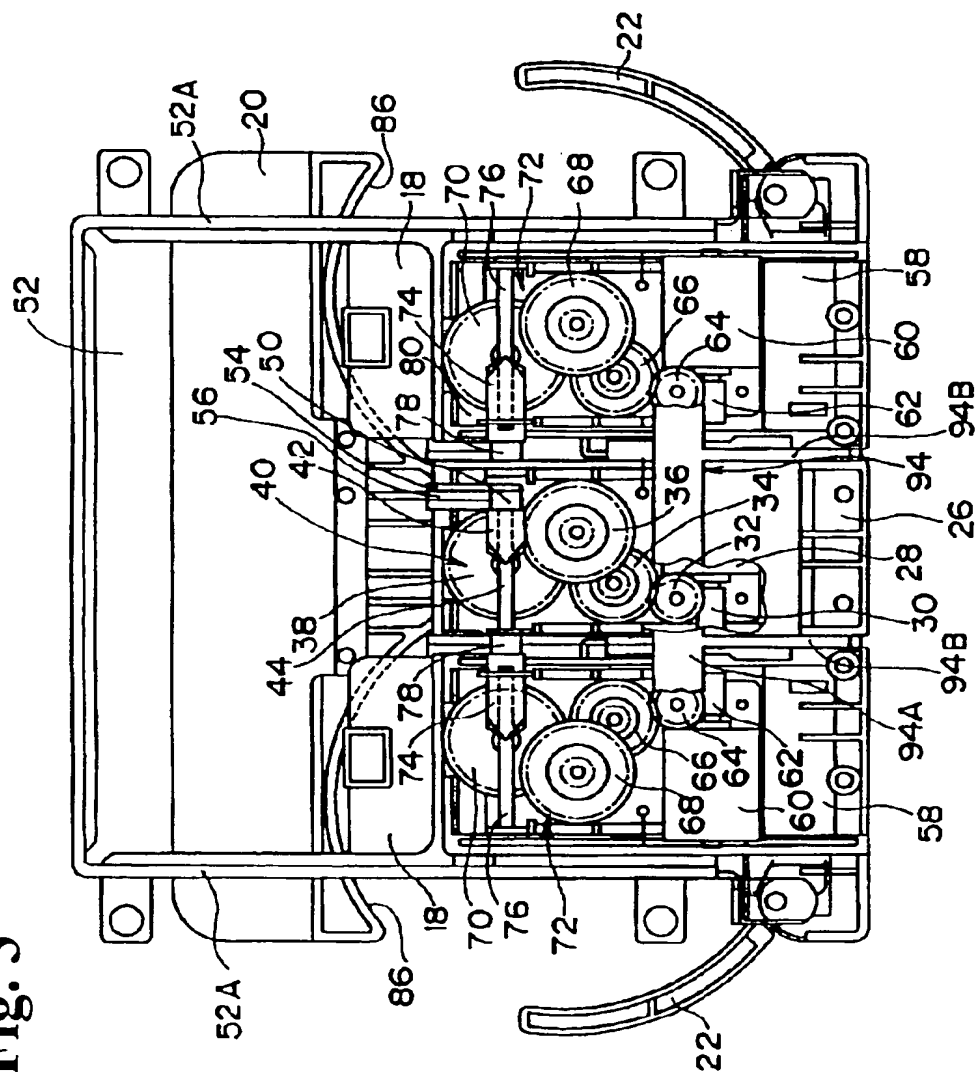


Fig. 4

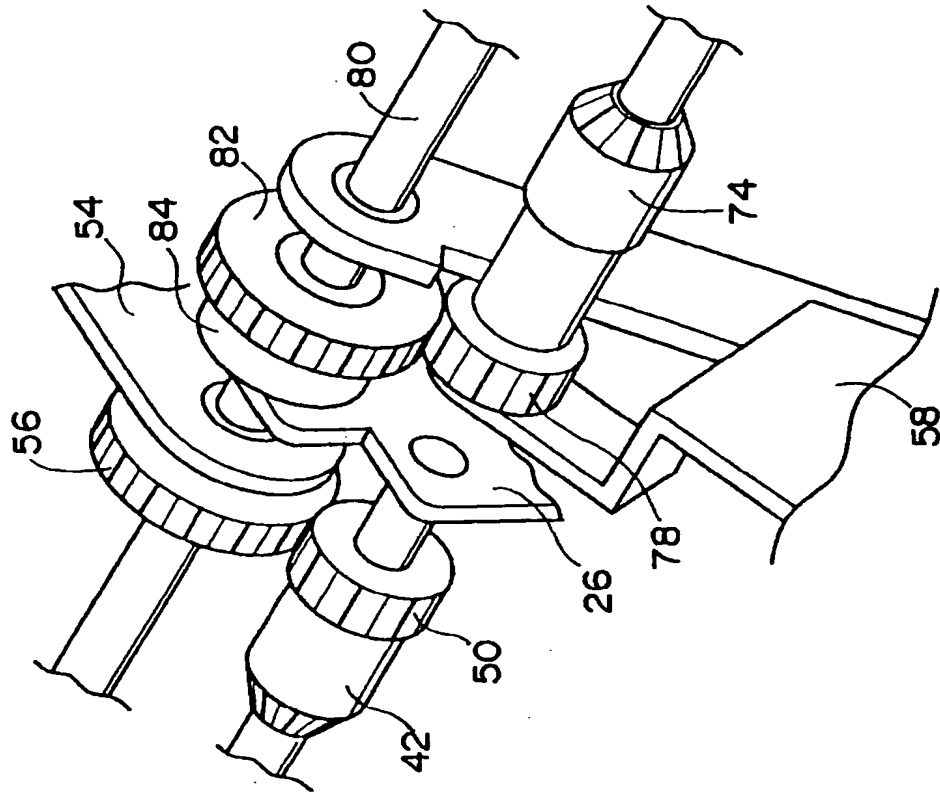
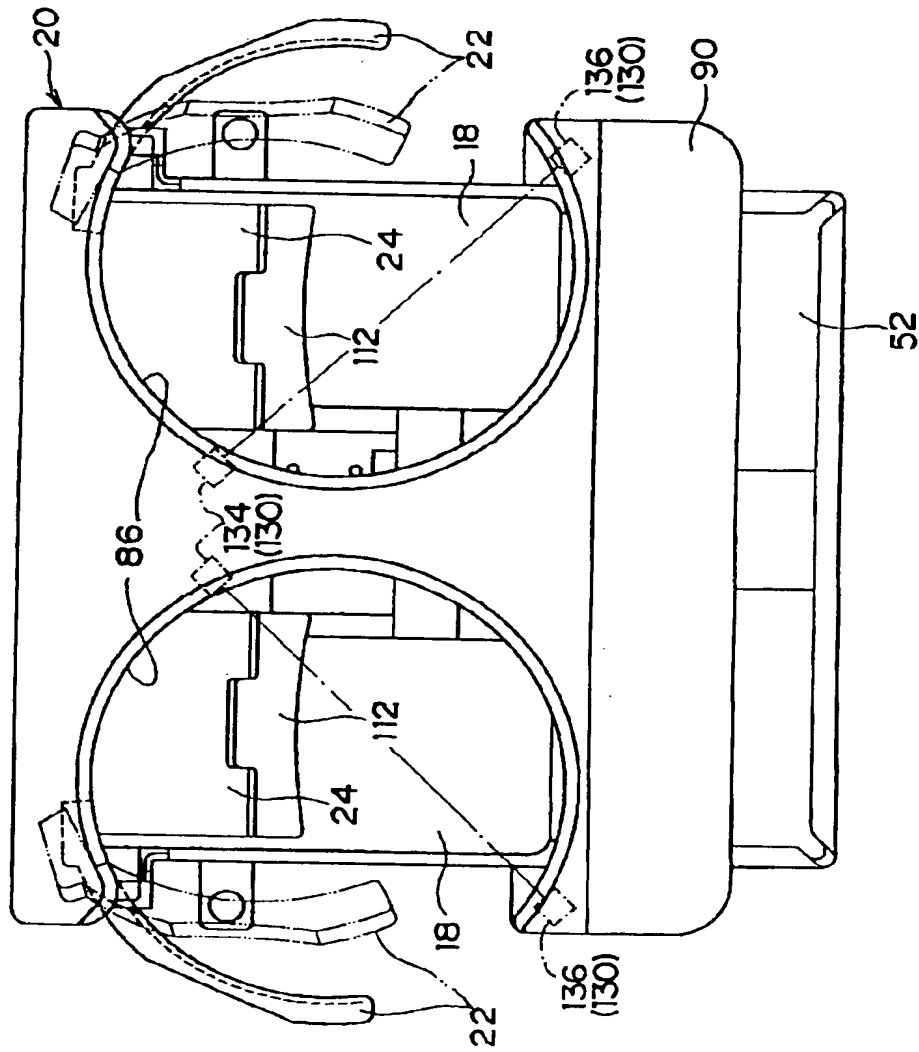


Fig. 5



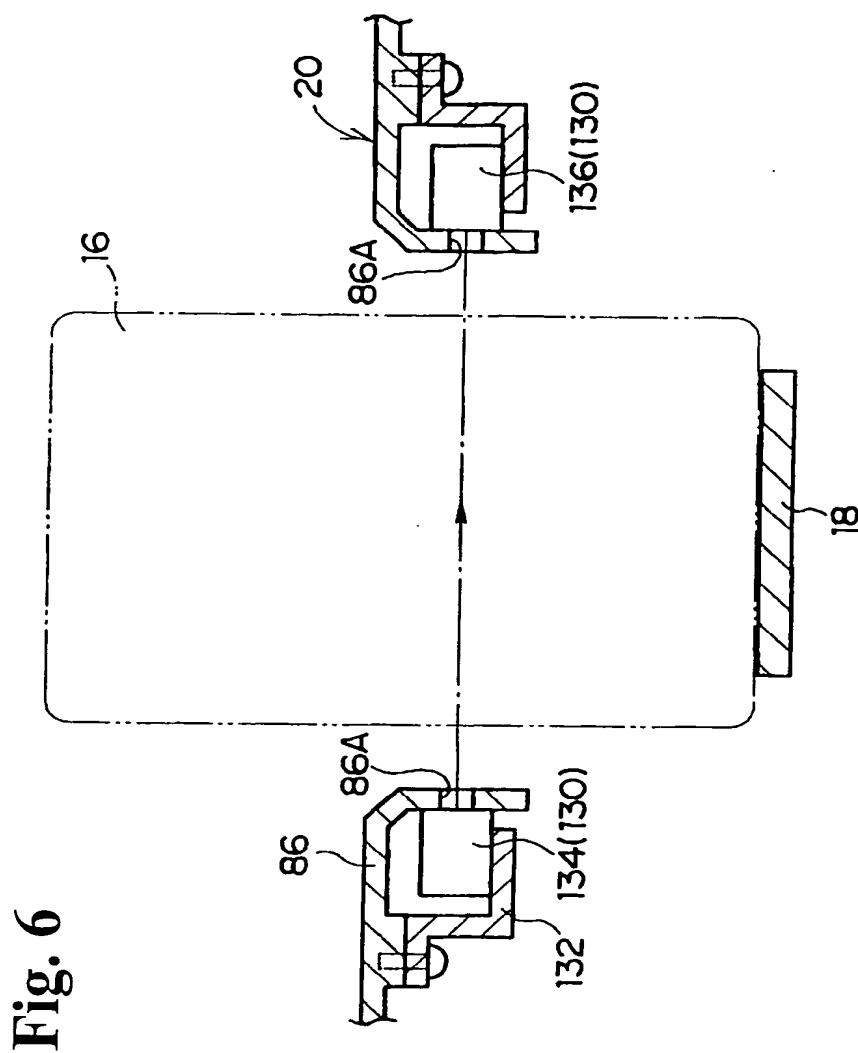


Fig. 6

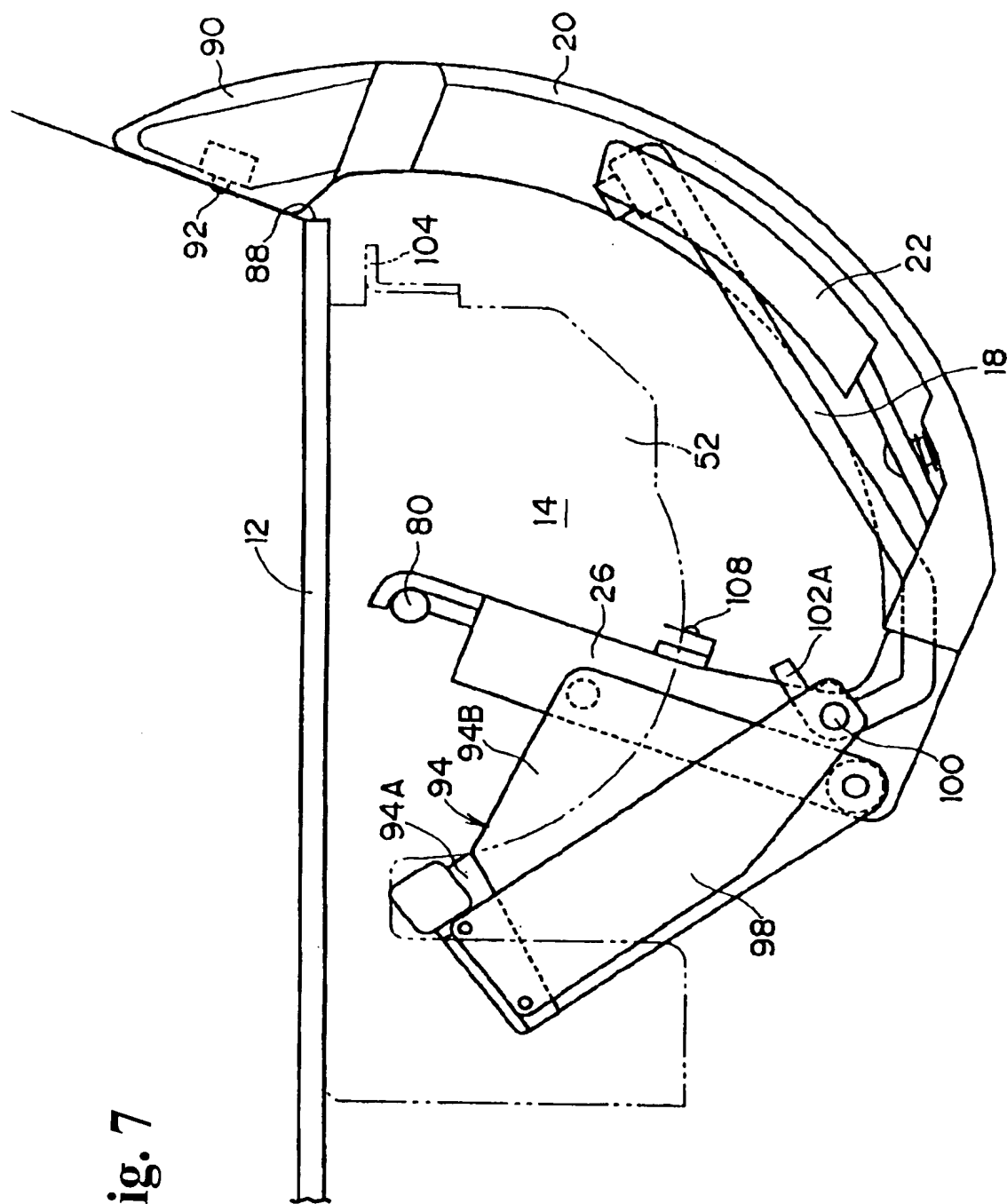


Fig. 7

Fig. 8

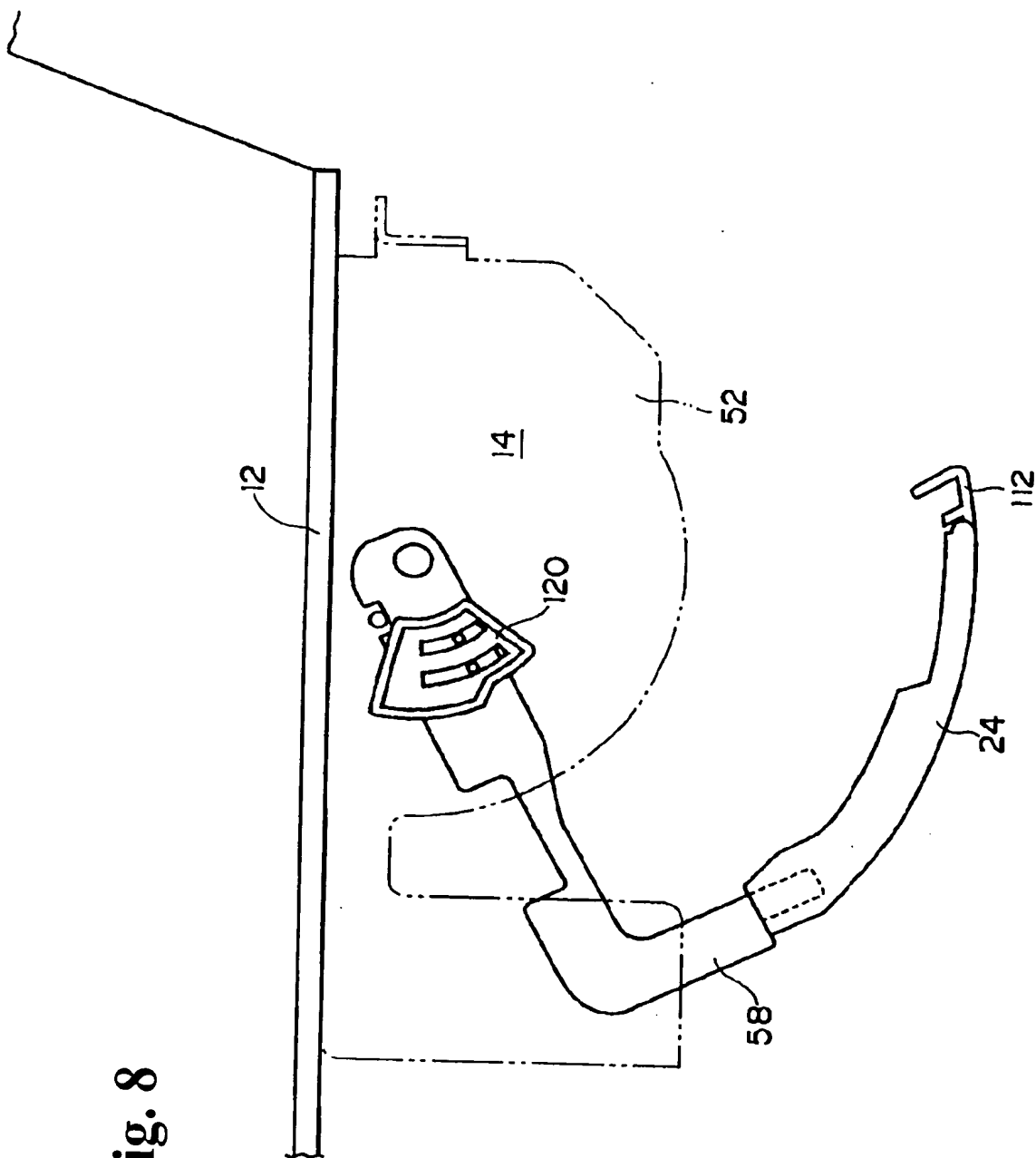
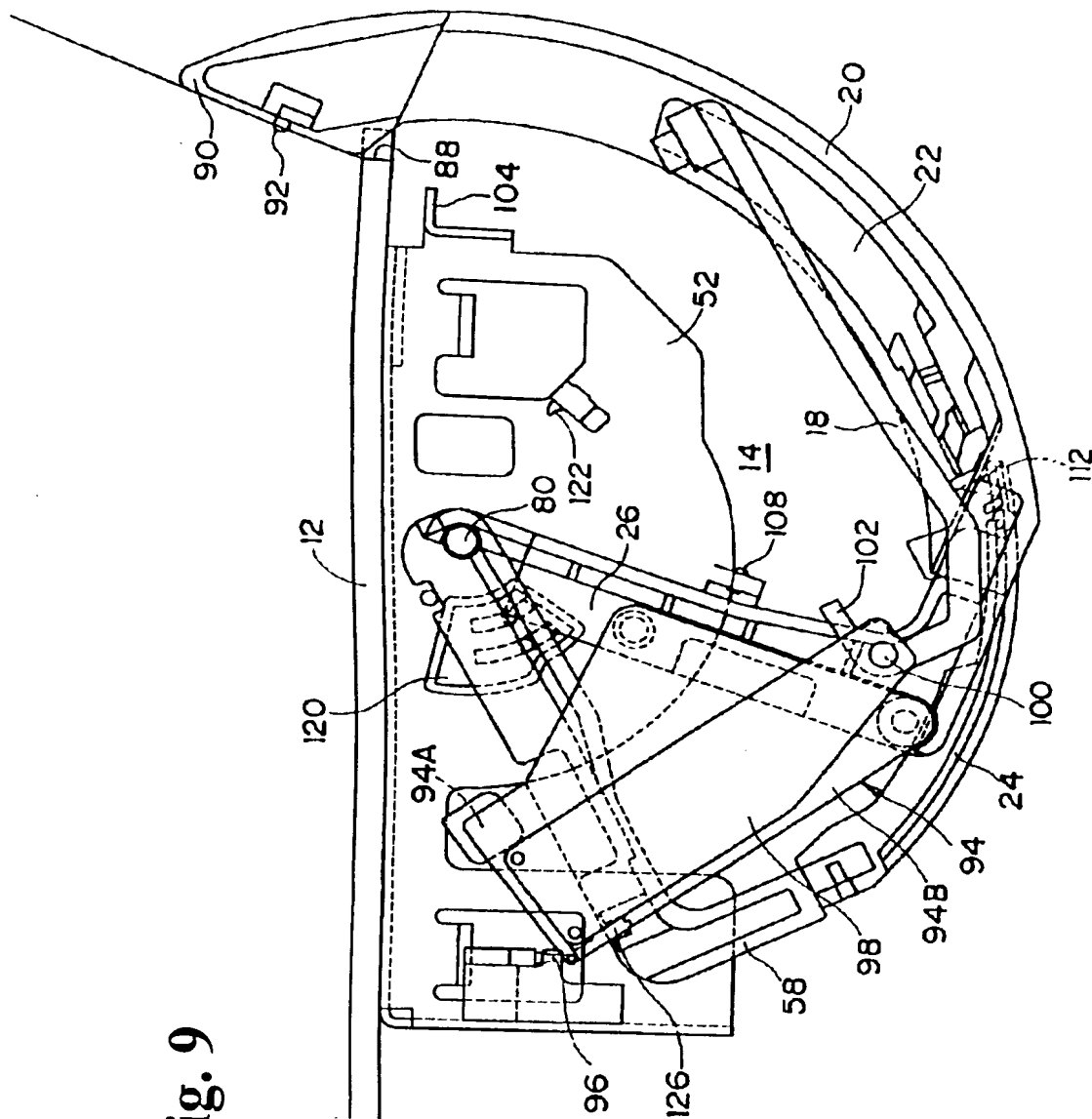
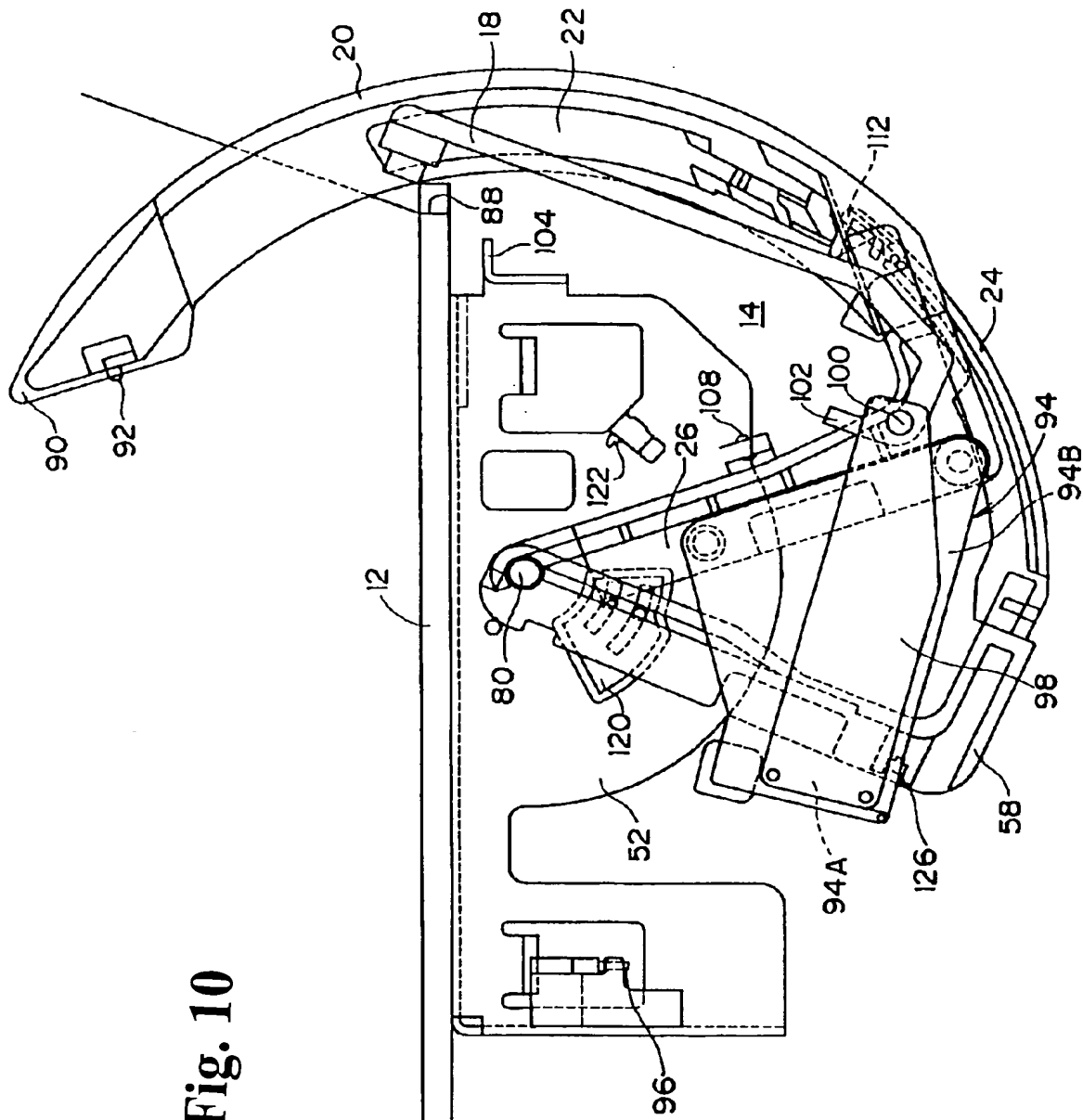


Fig. 9





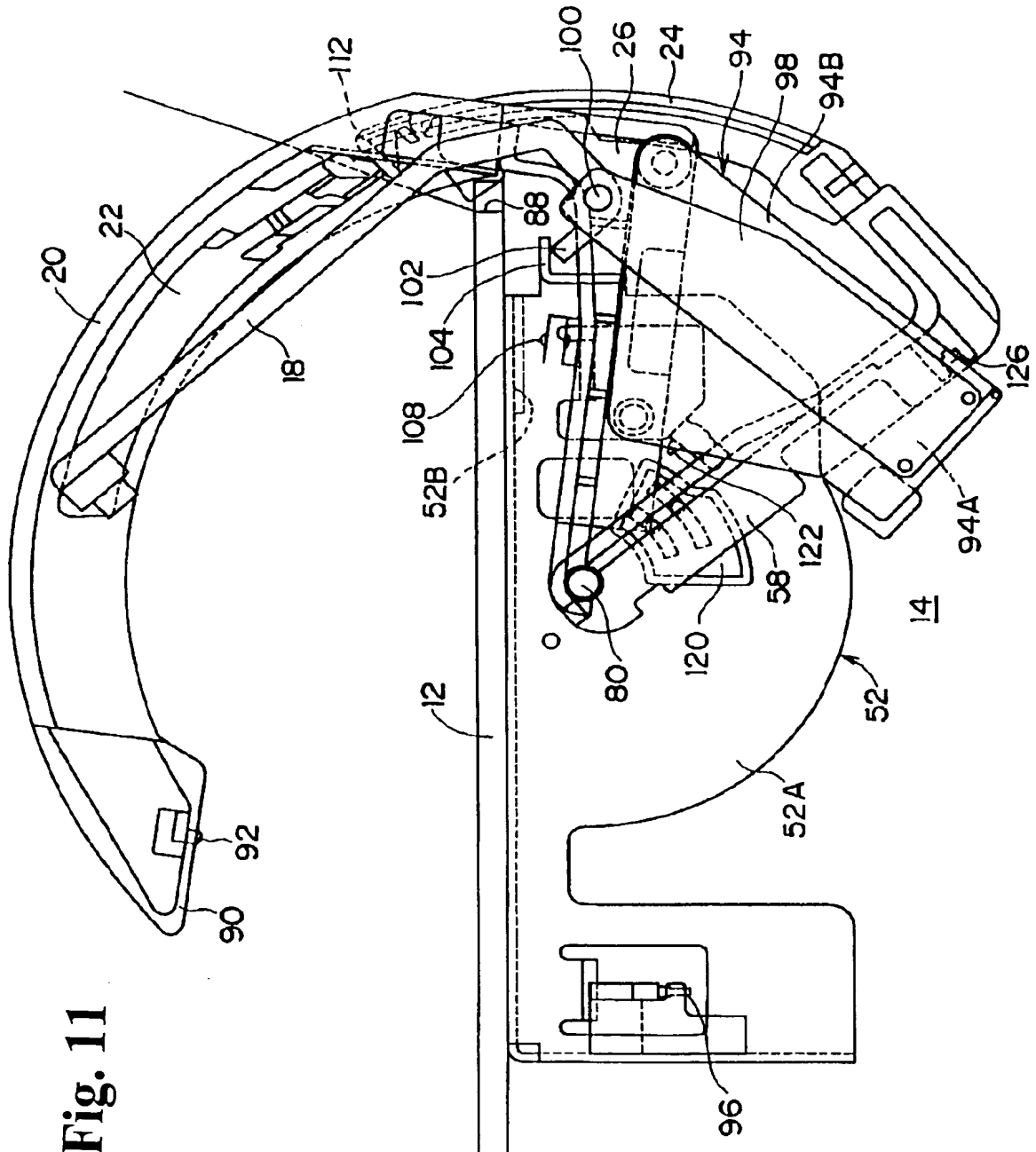
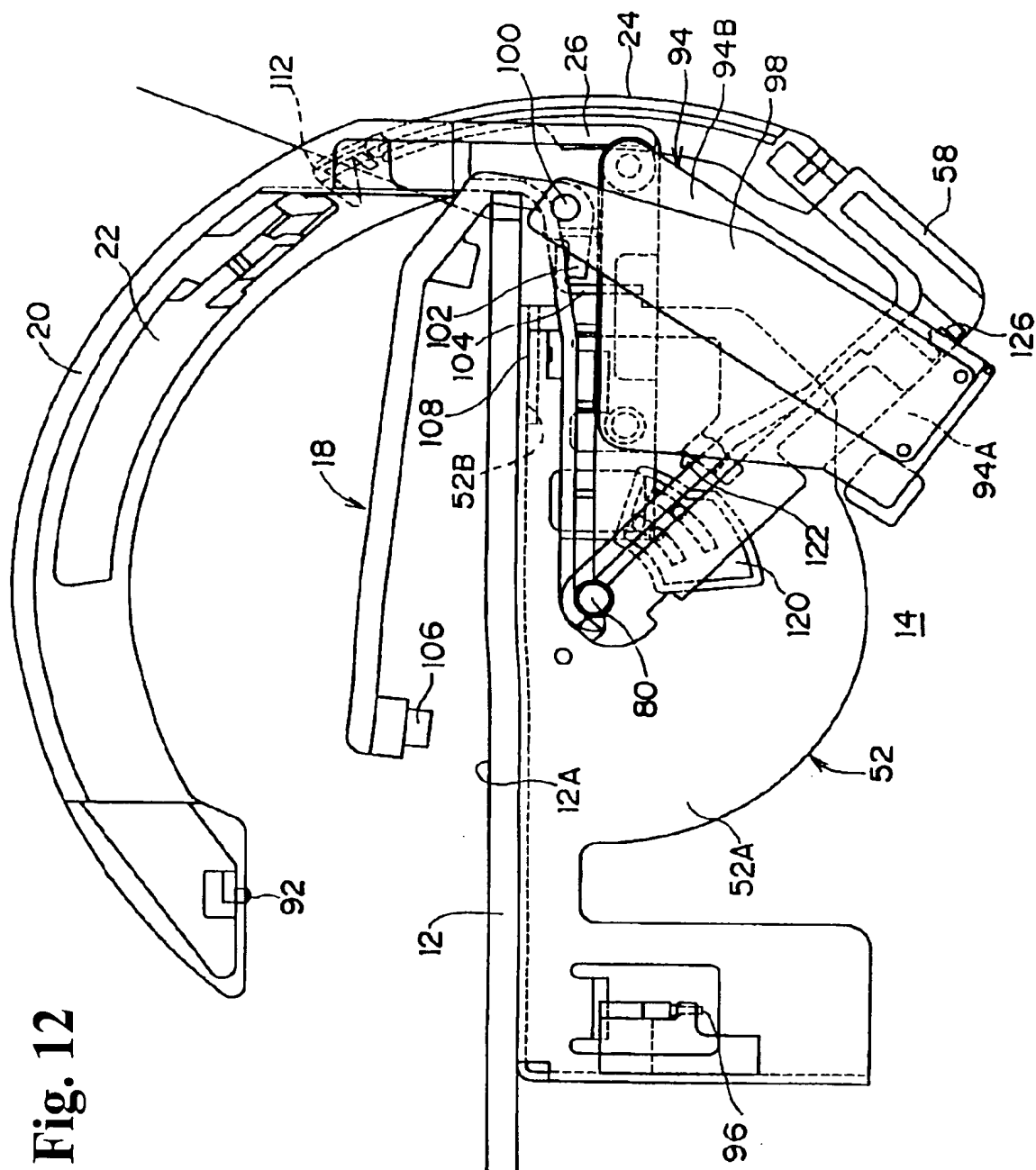
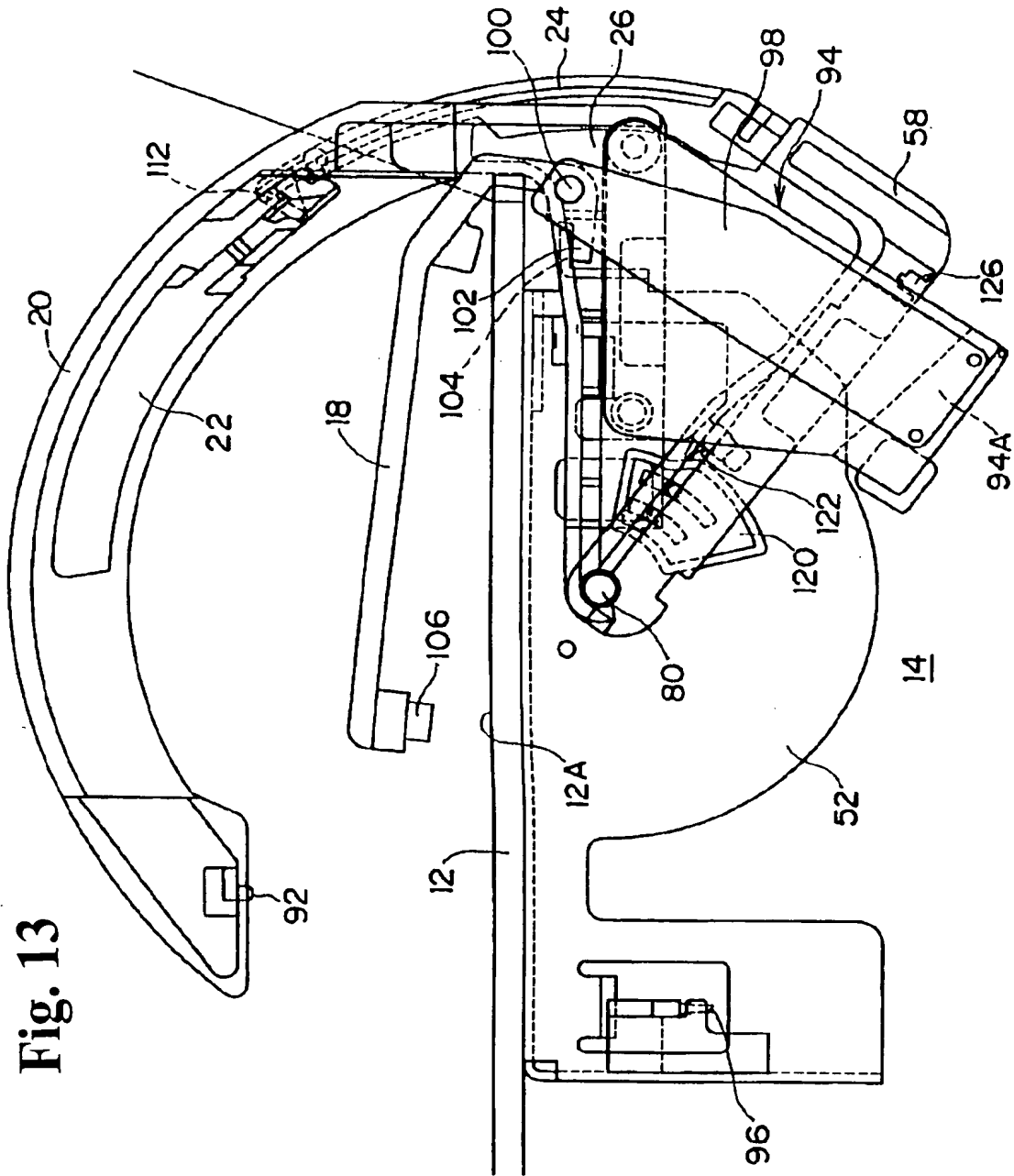
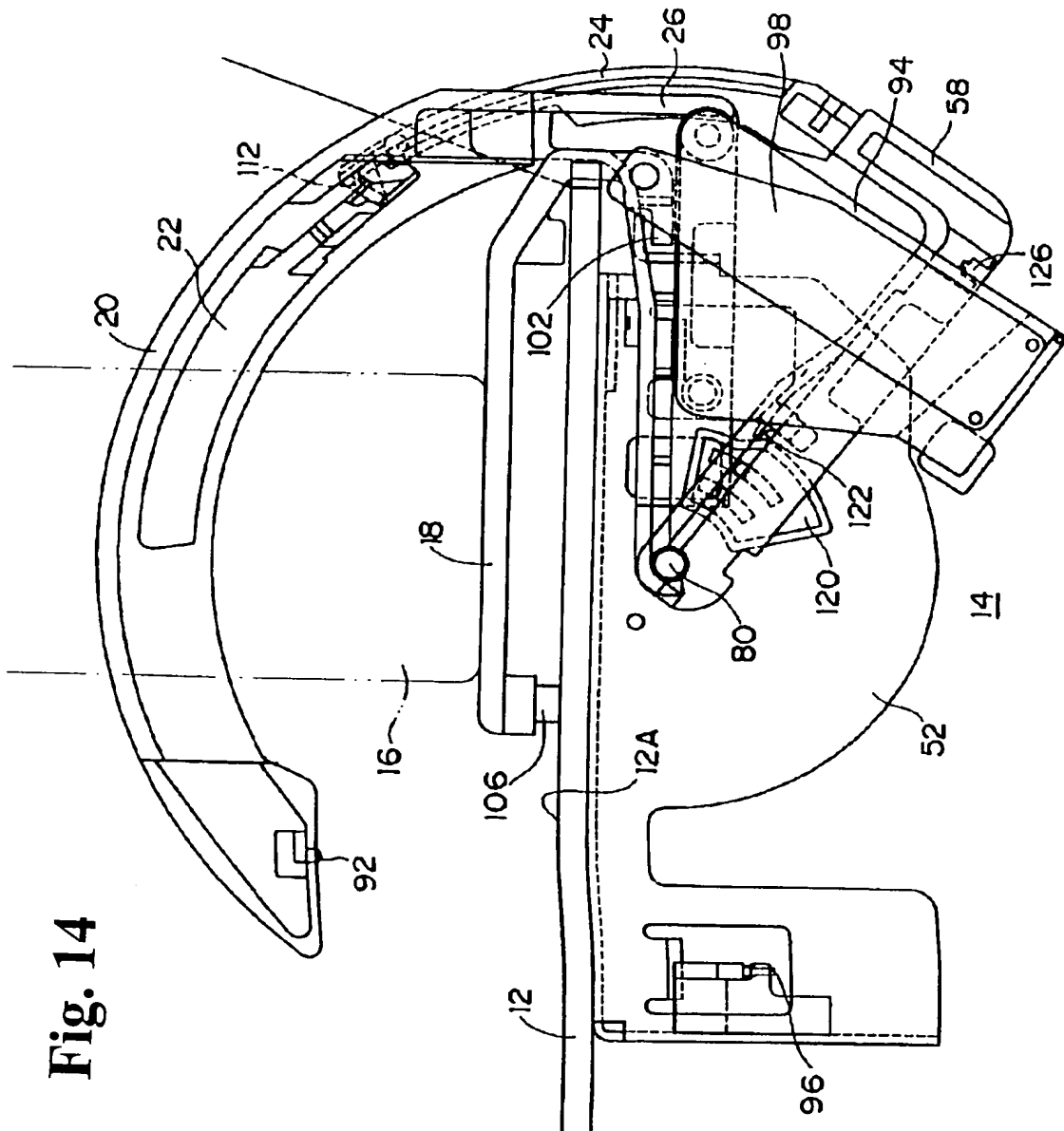


Fig. 11







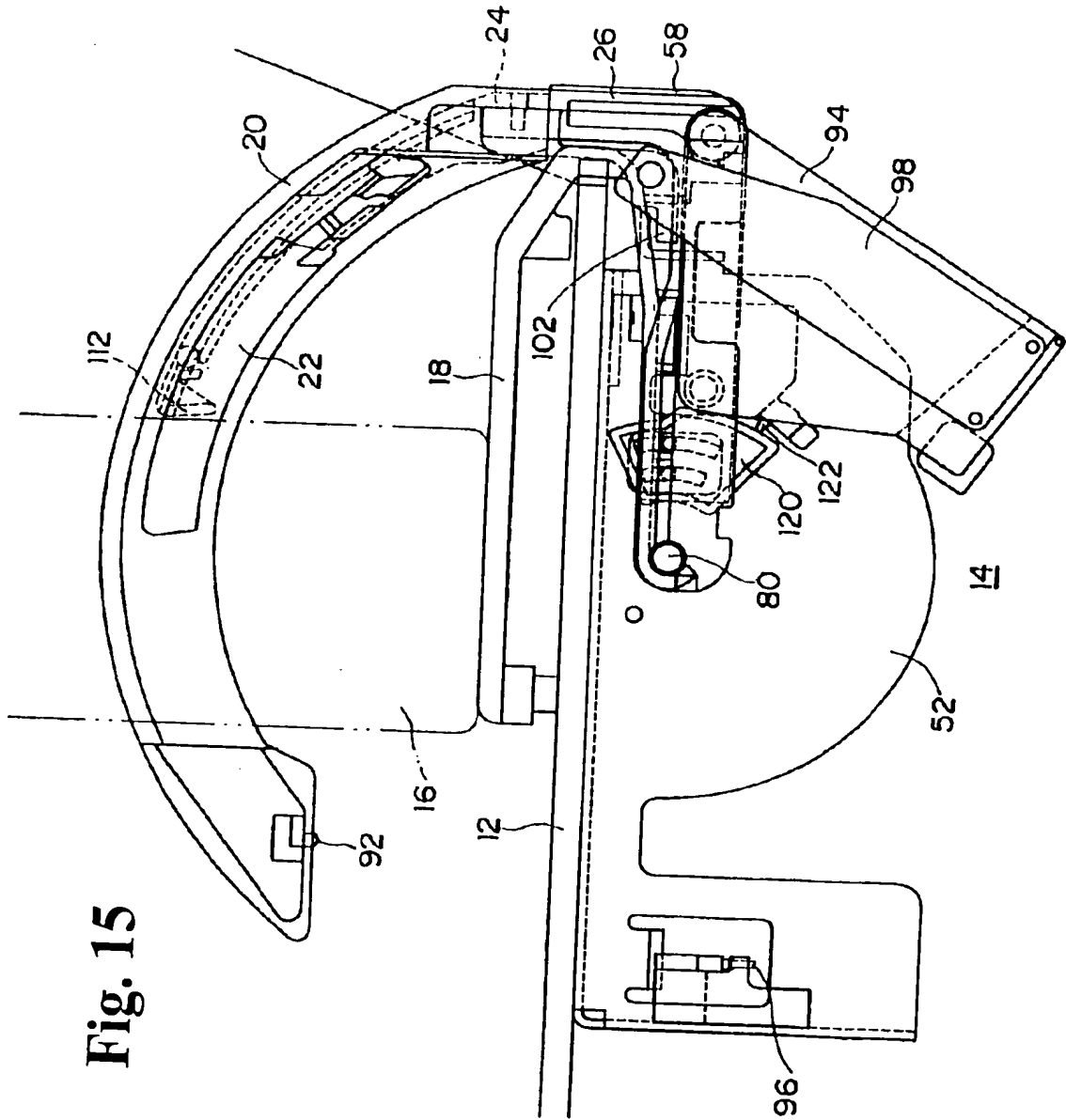


Fig. 15

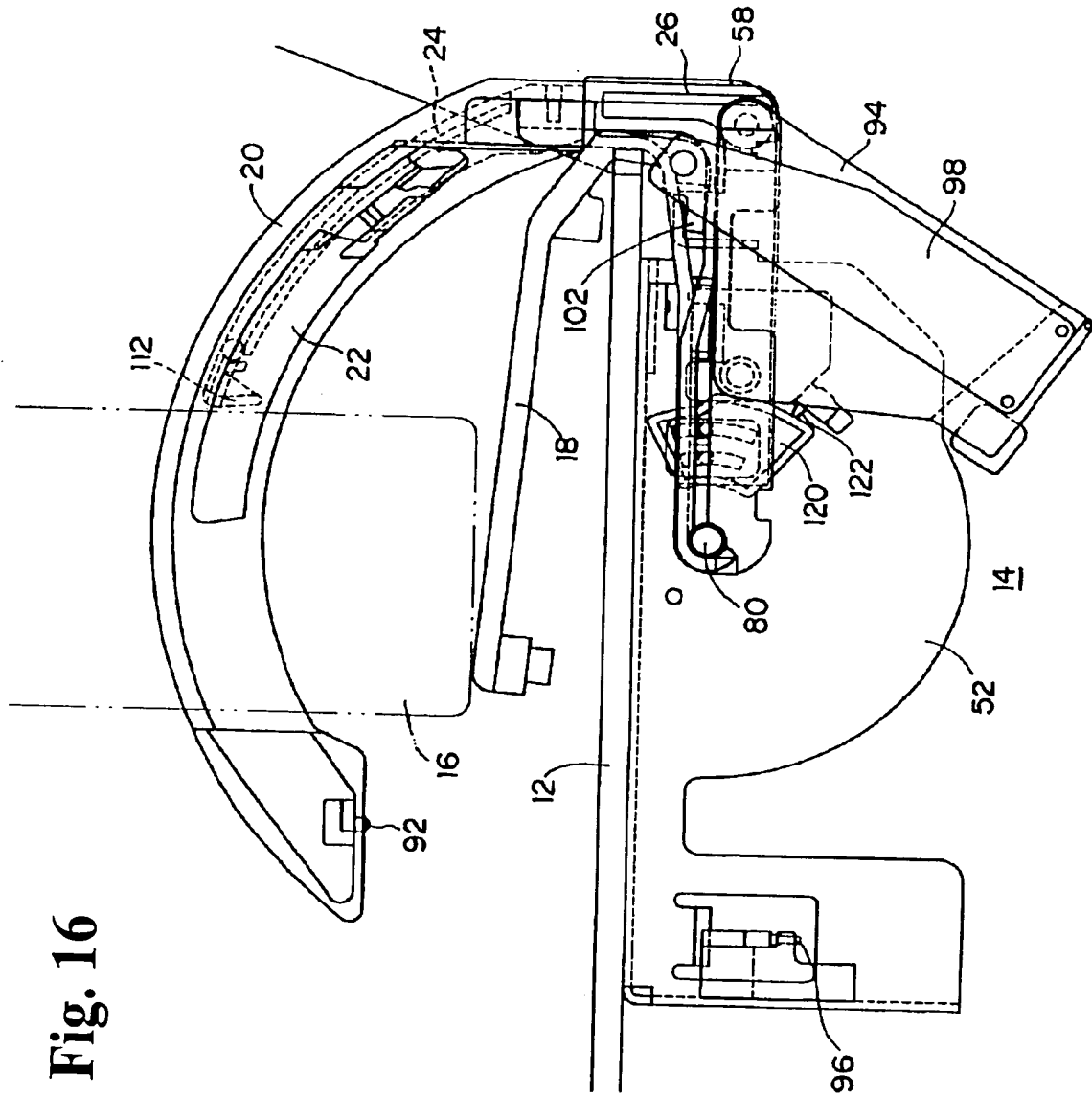


Fig. 16

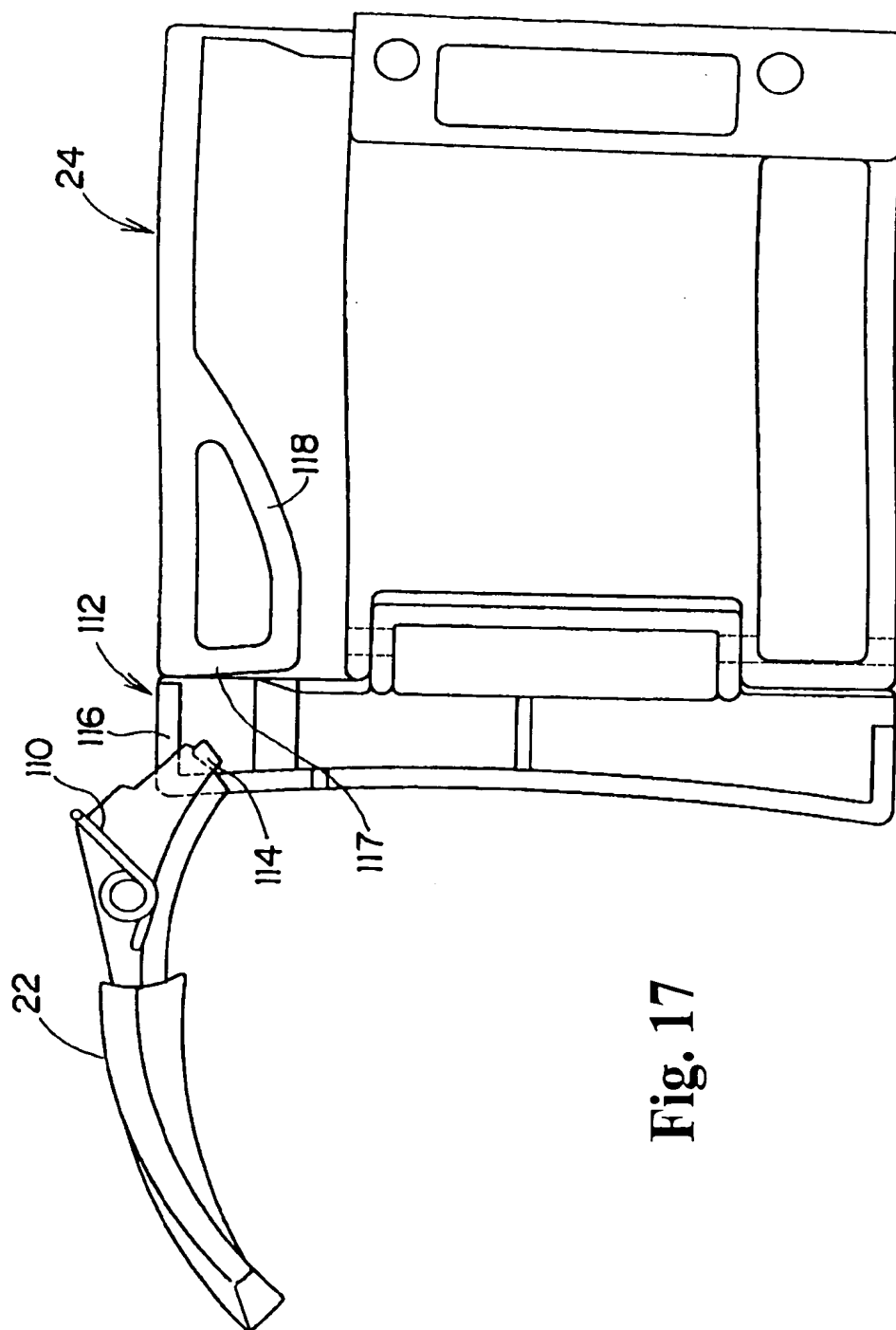


Fig. 17

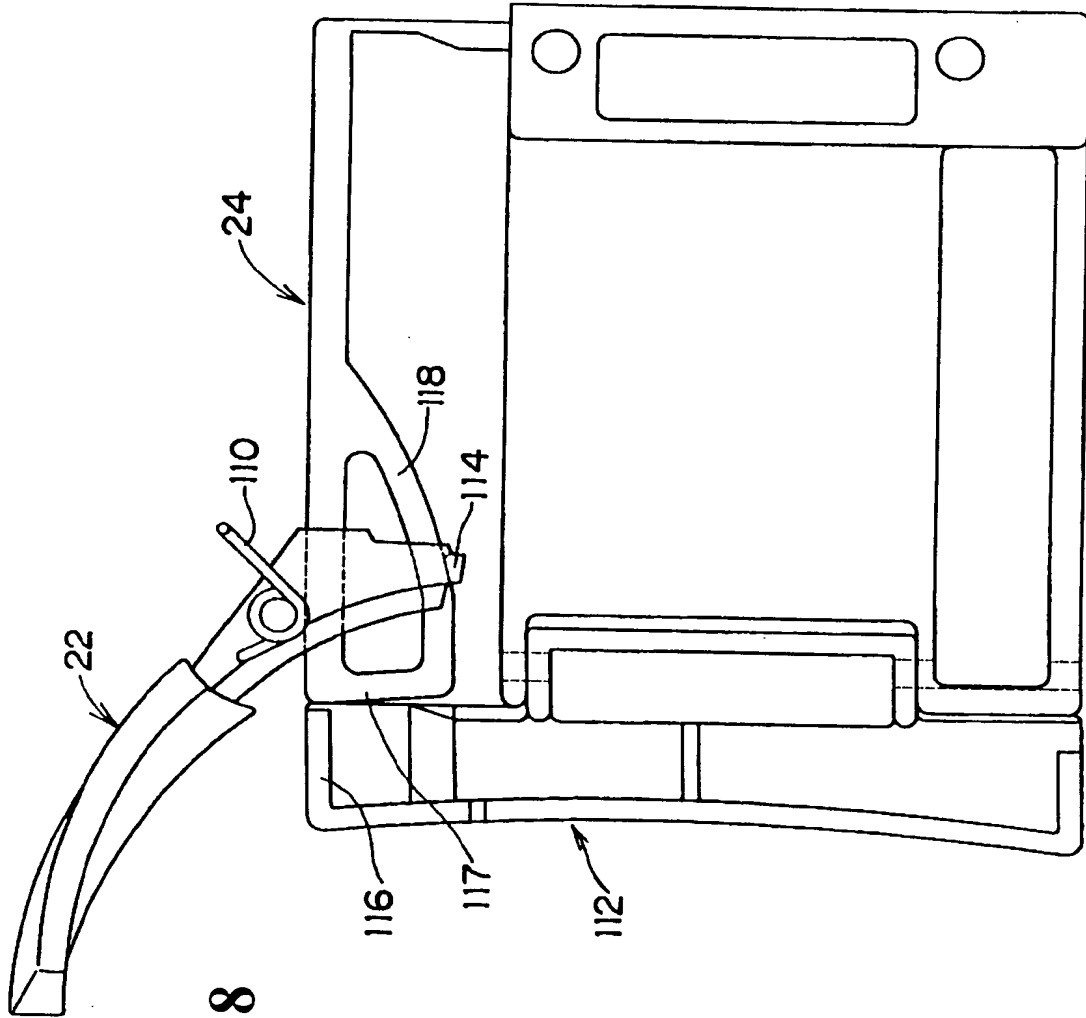
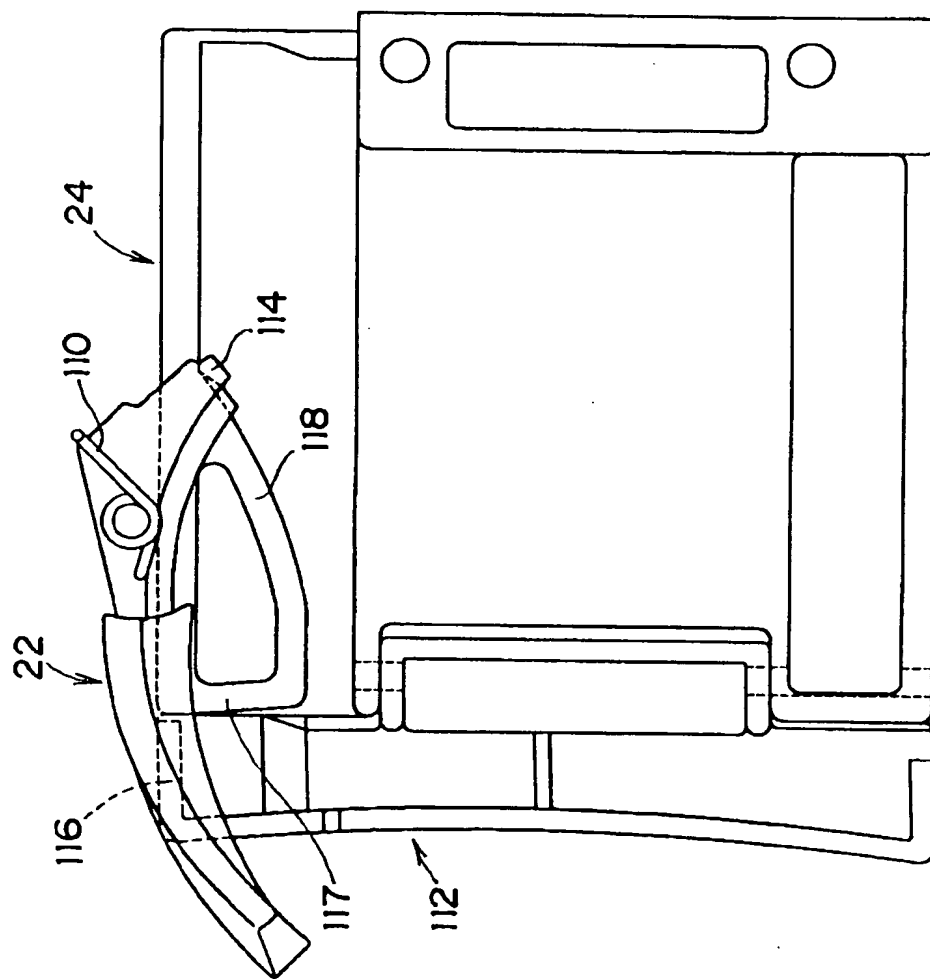


Fig. 18

Fig. 19



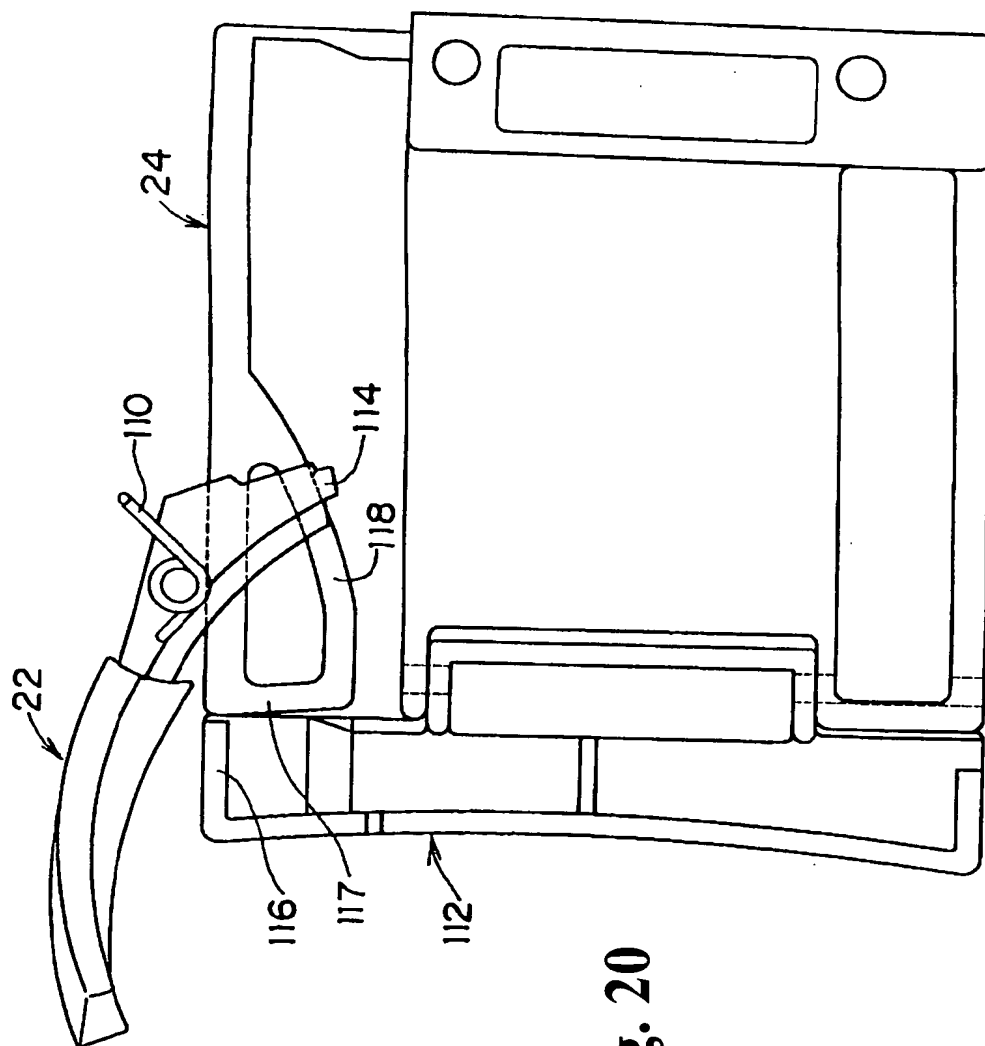


Fig. 20

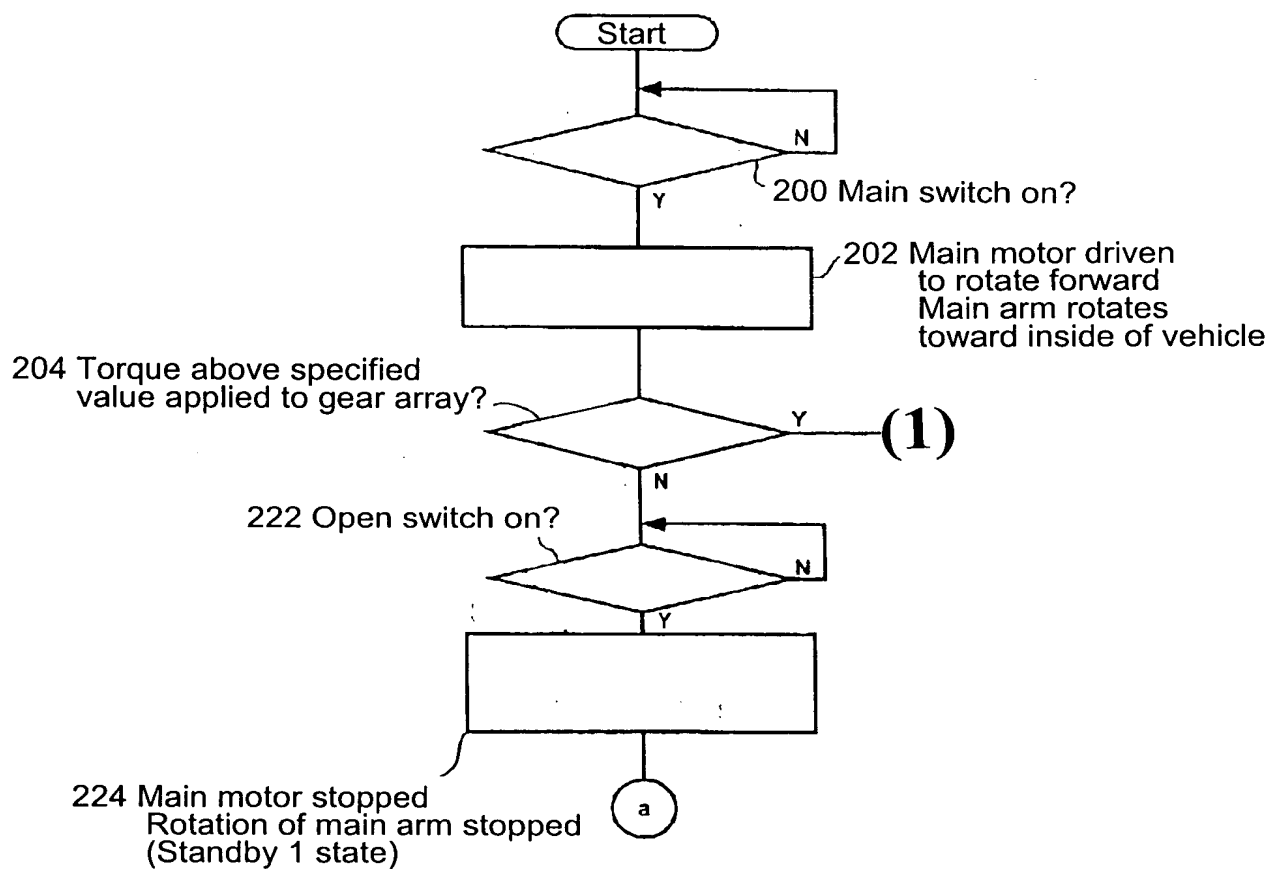
Fig. 21-1

Fig. 21-2

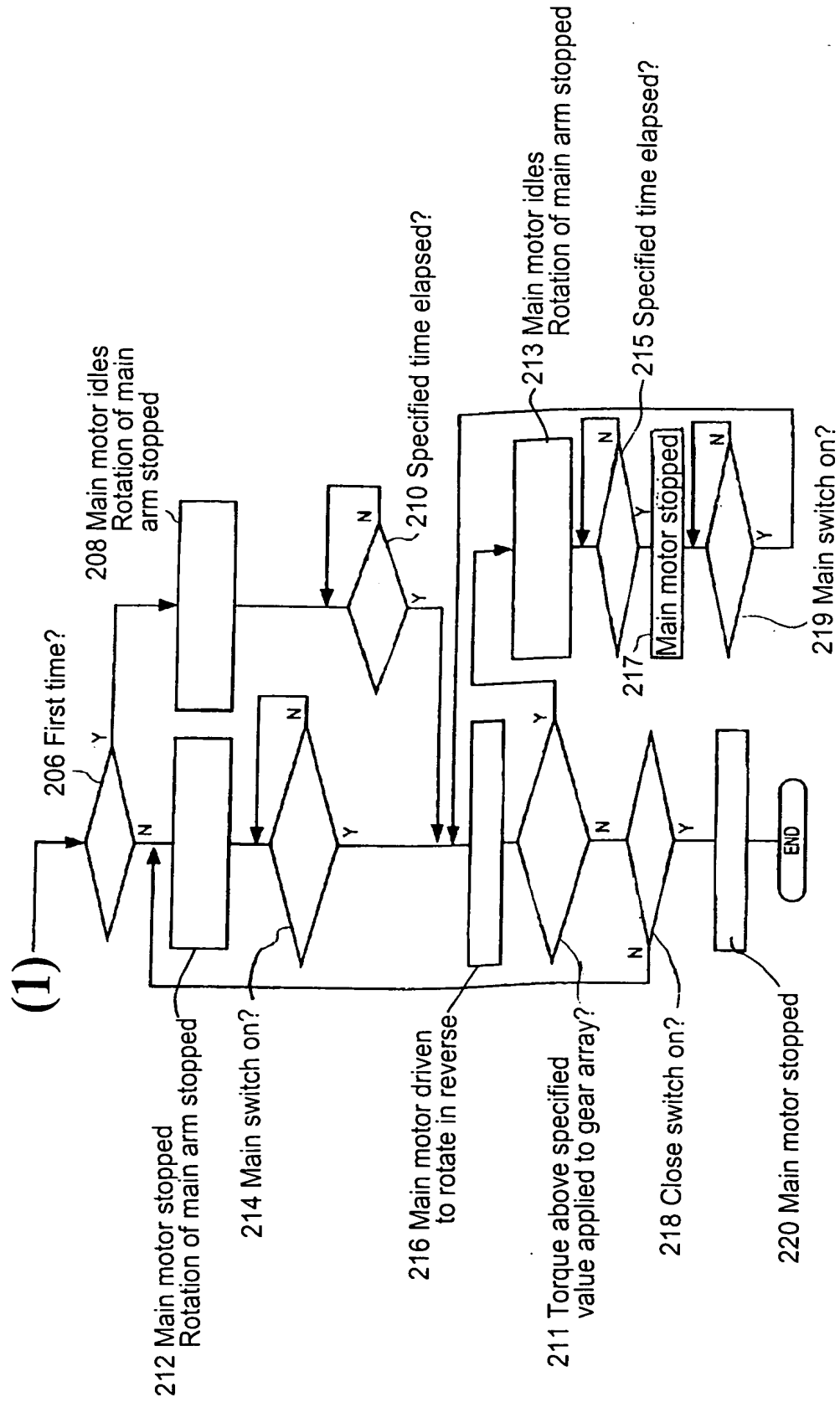


Fig. 22-1

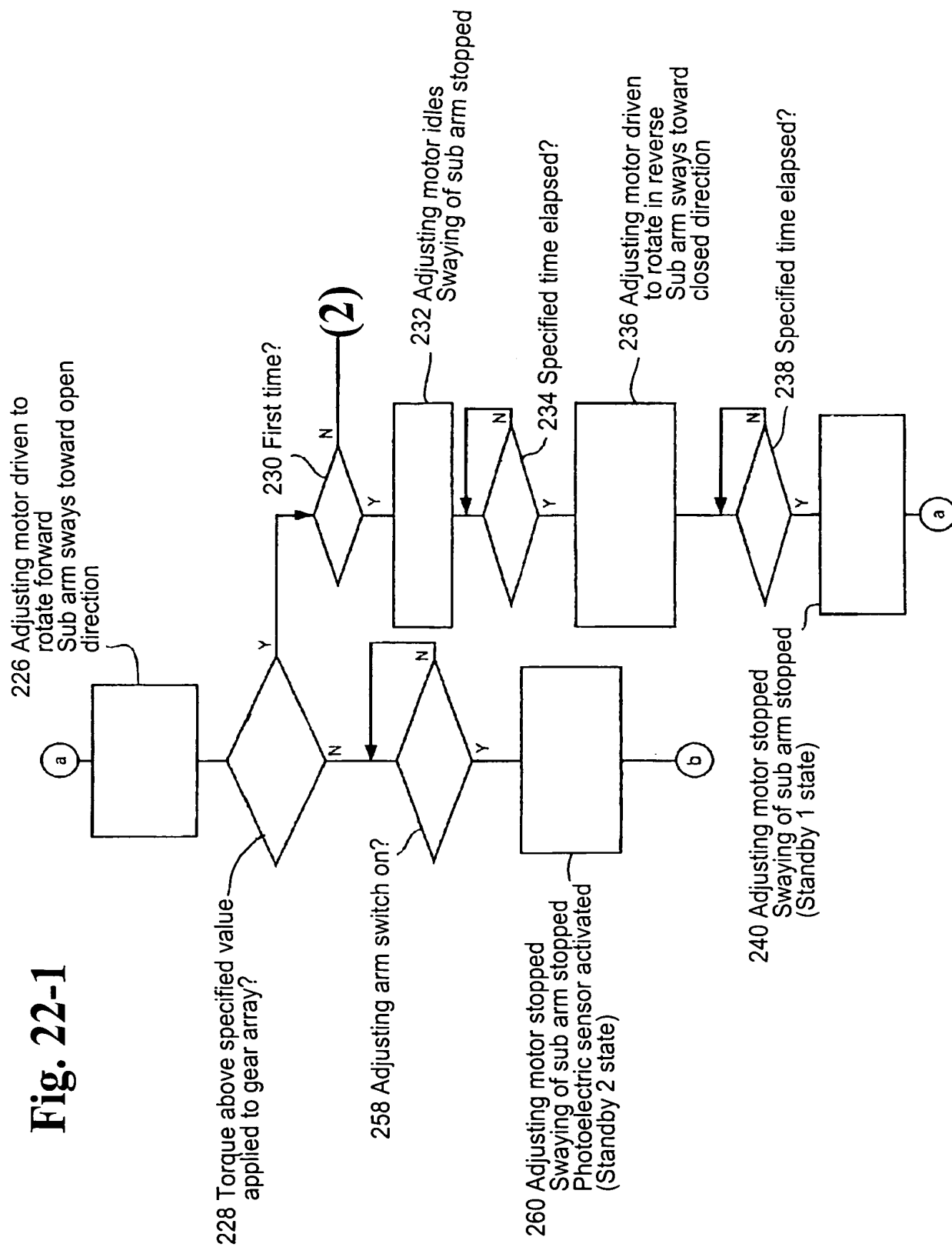


Fig. 22-2

(2)

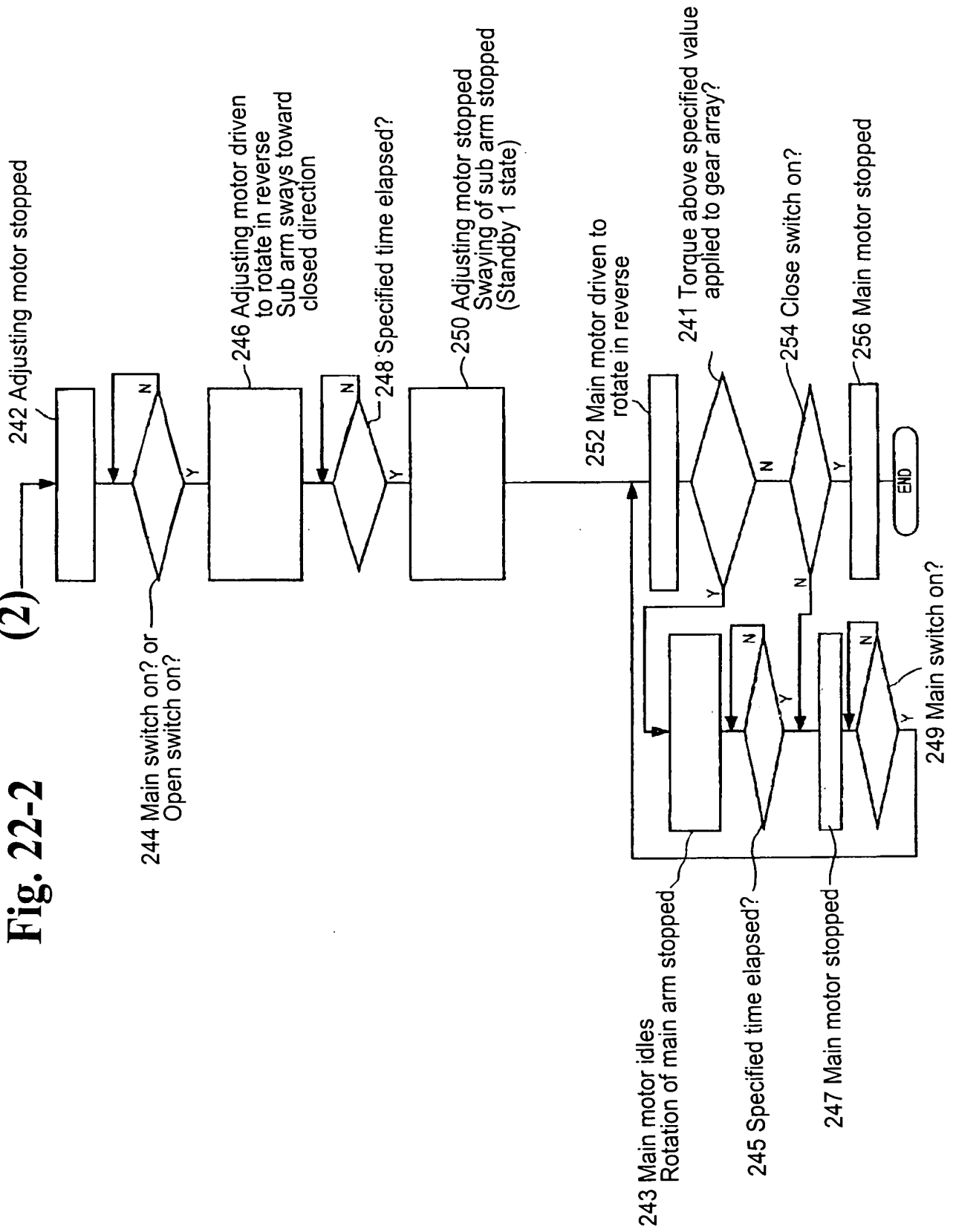


Fig. 23

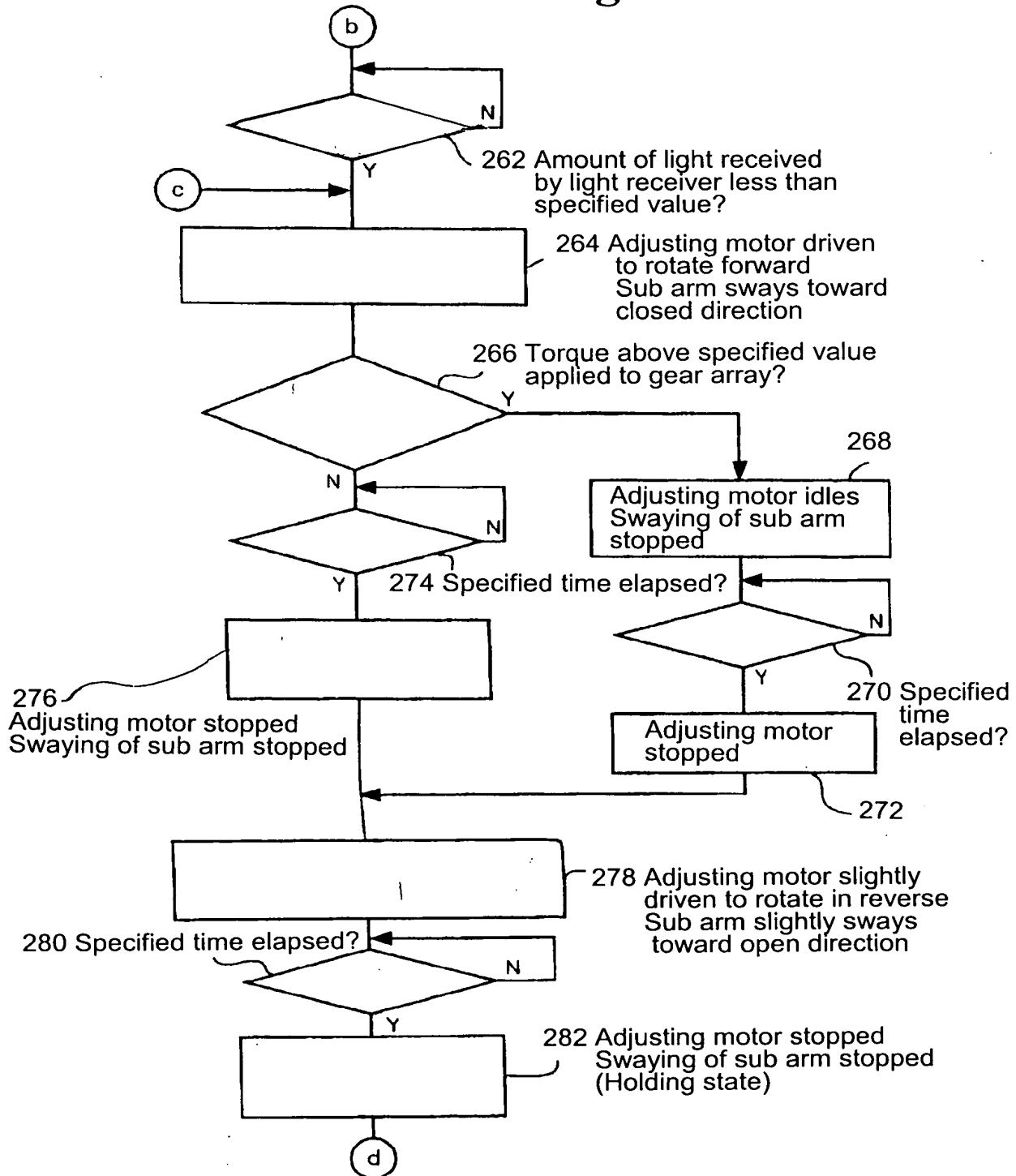


Fig. 24-1

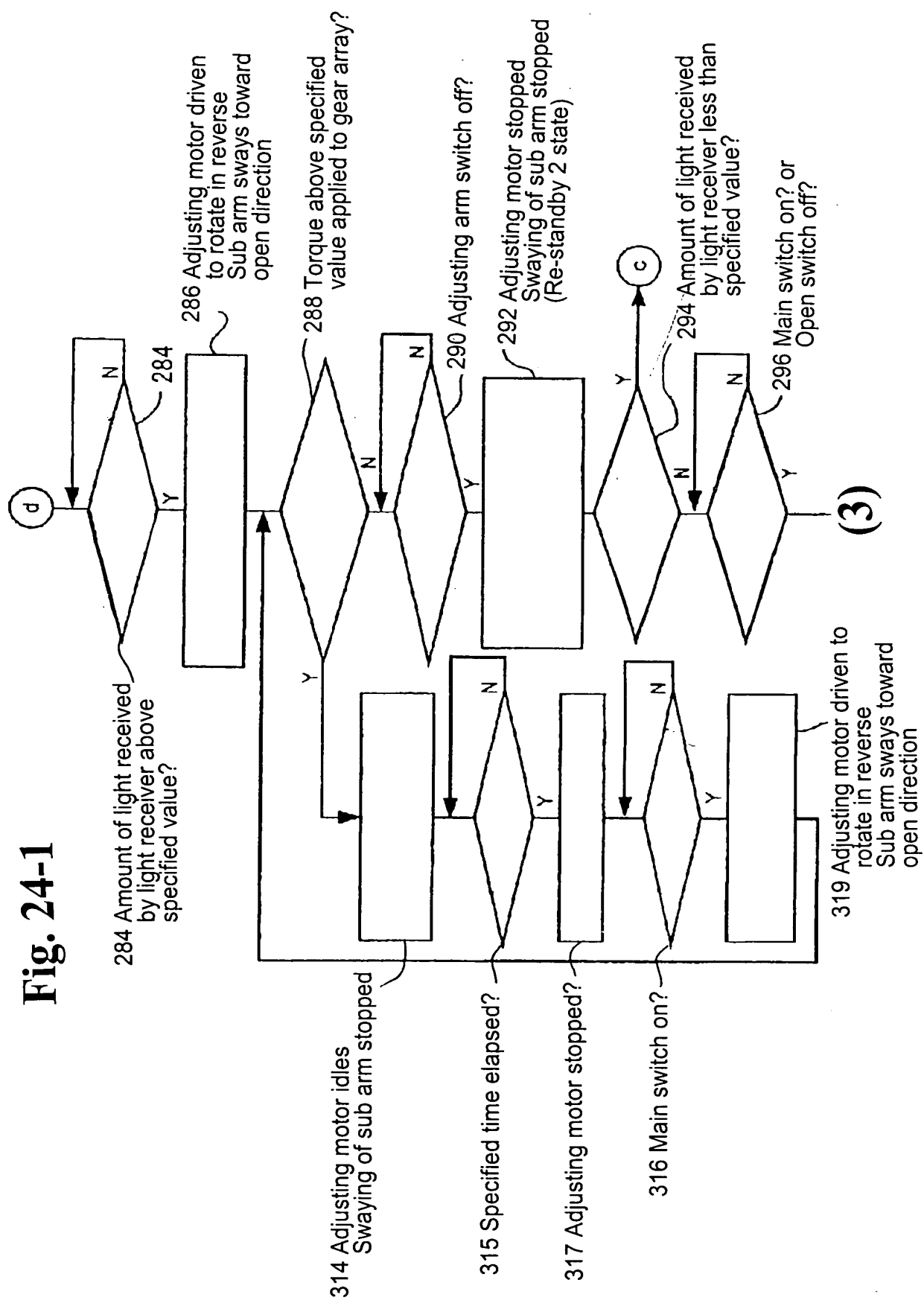


Fig. 24-2

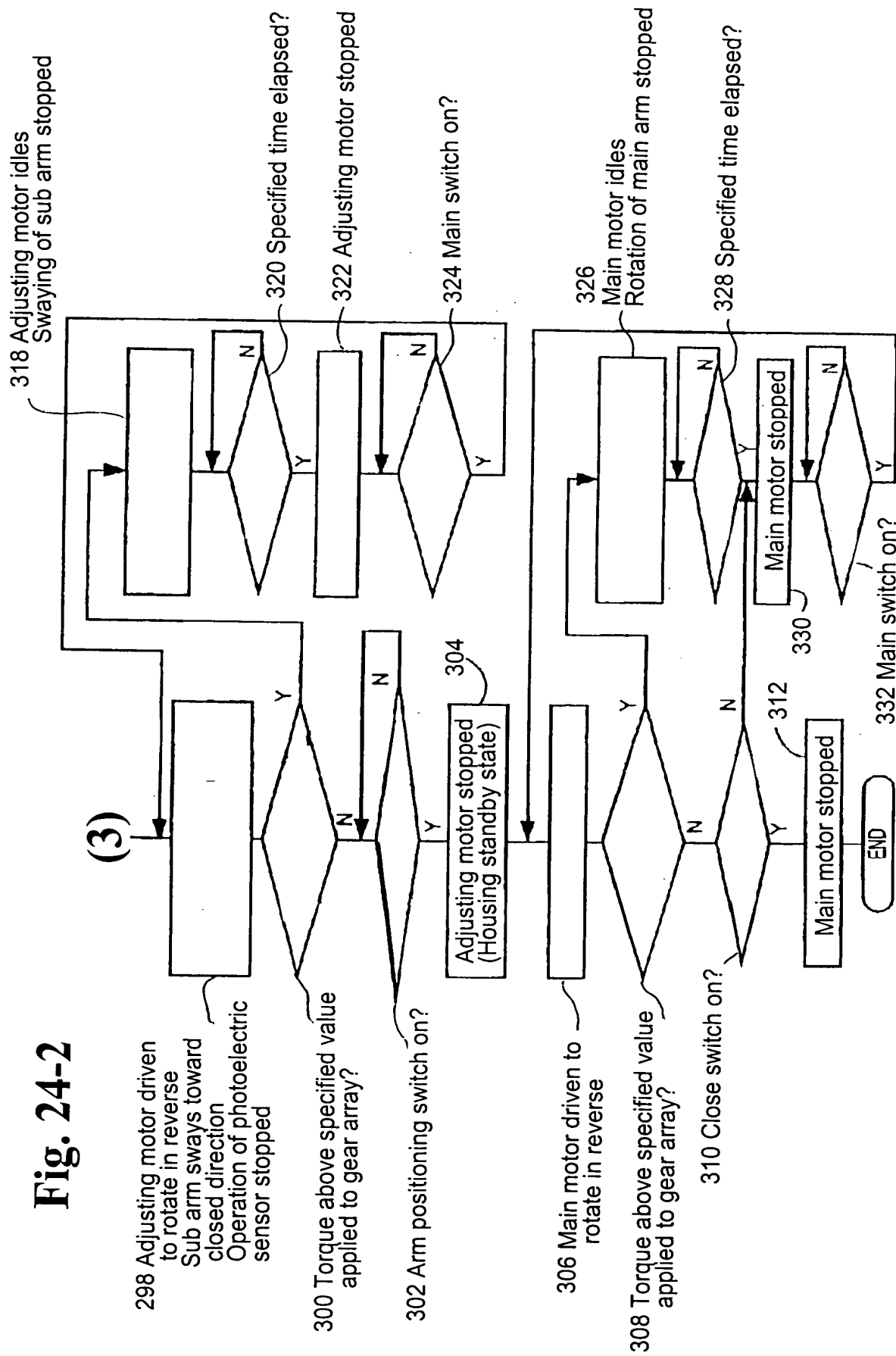
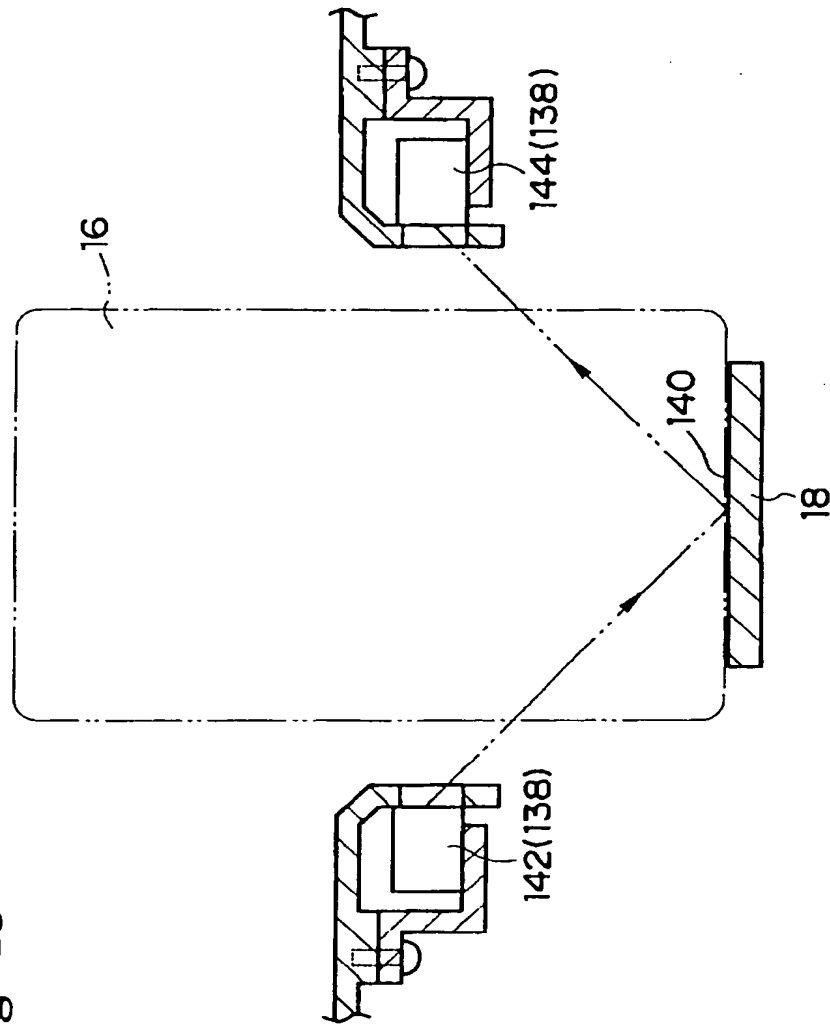


Fig. 25



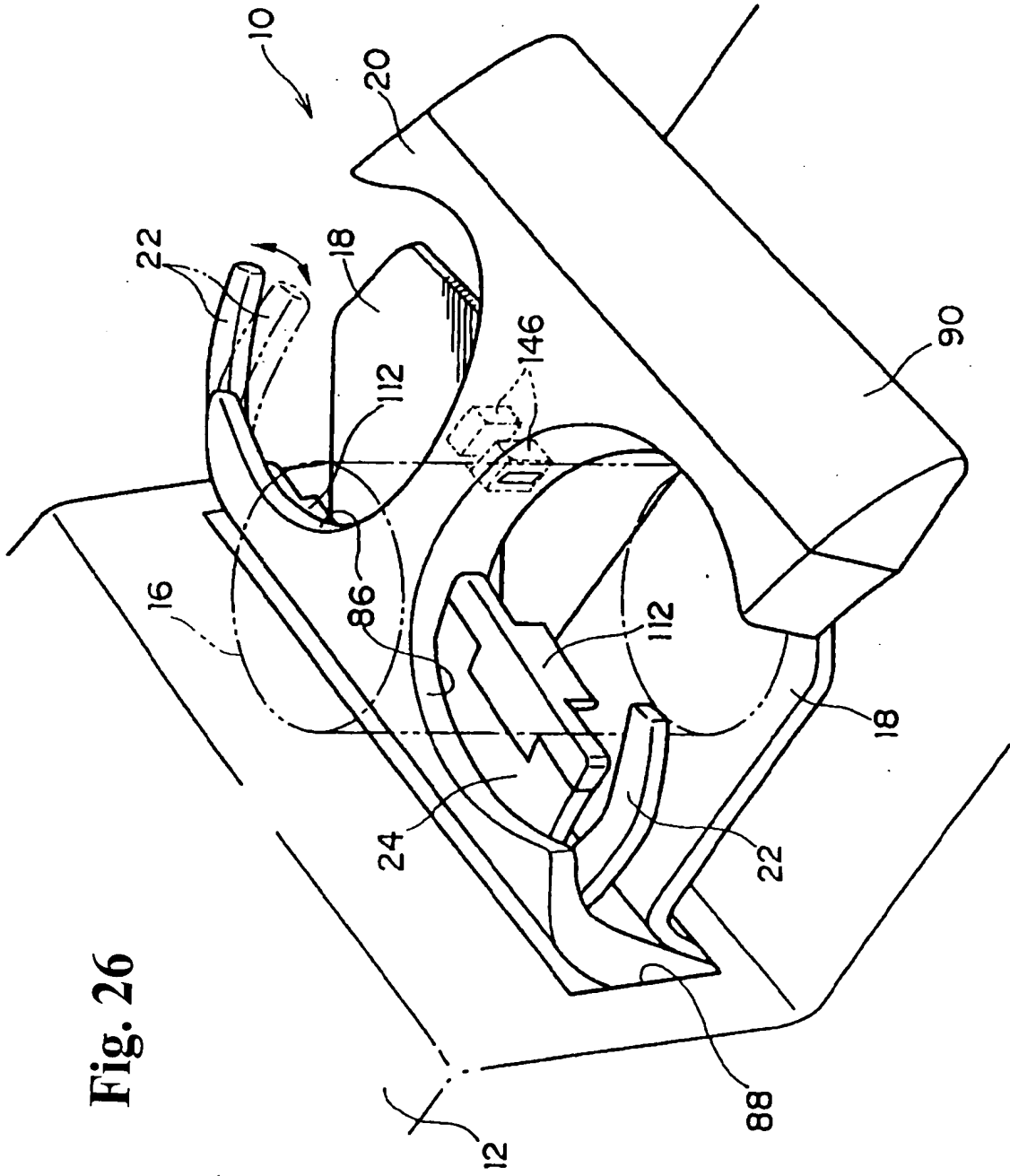


Fig. 26

Fig. 27

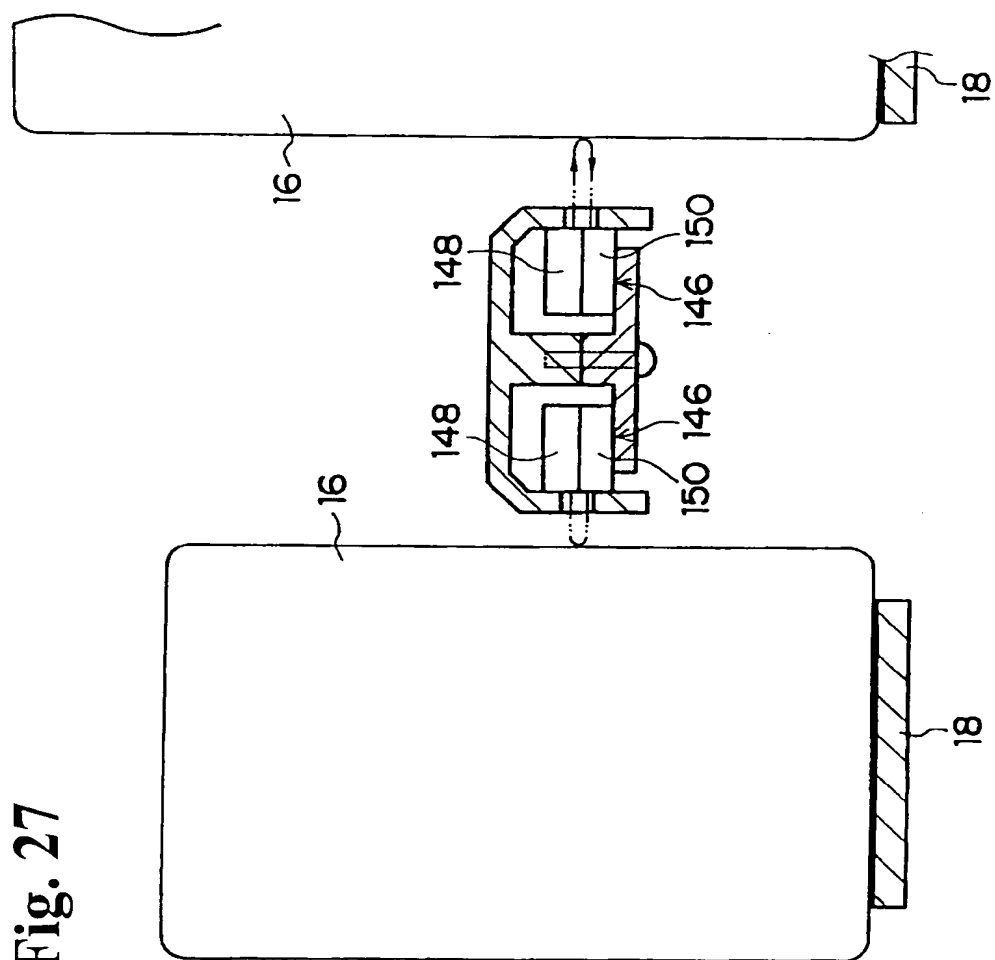


Fig. 28

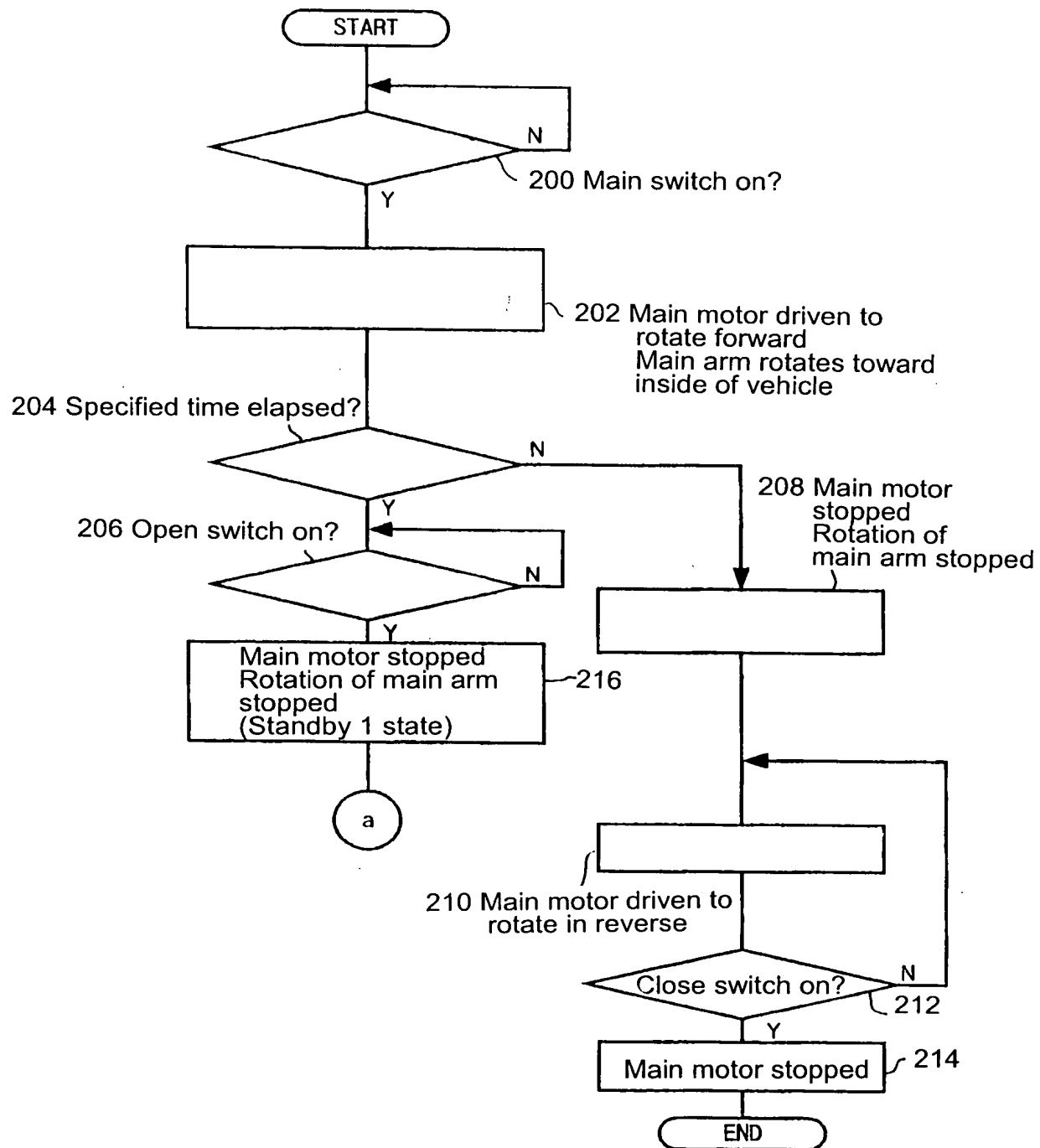


Fig. 29-1

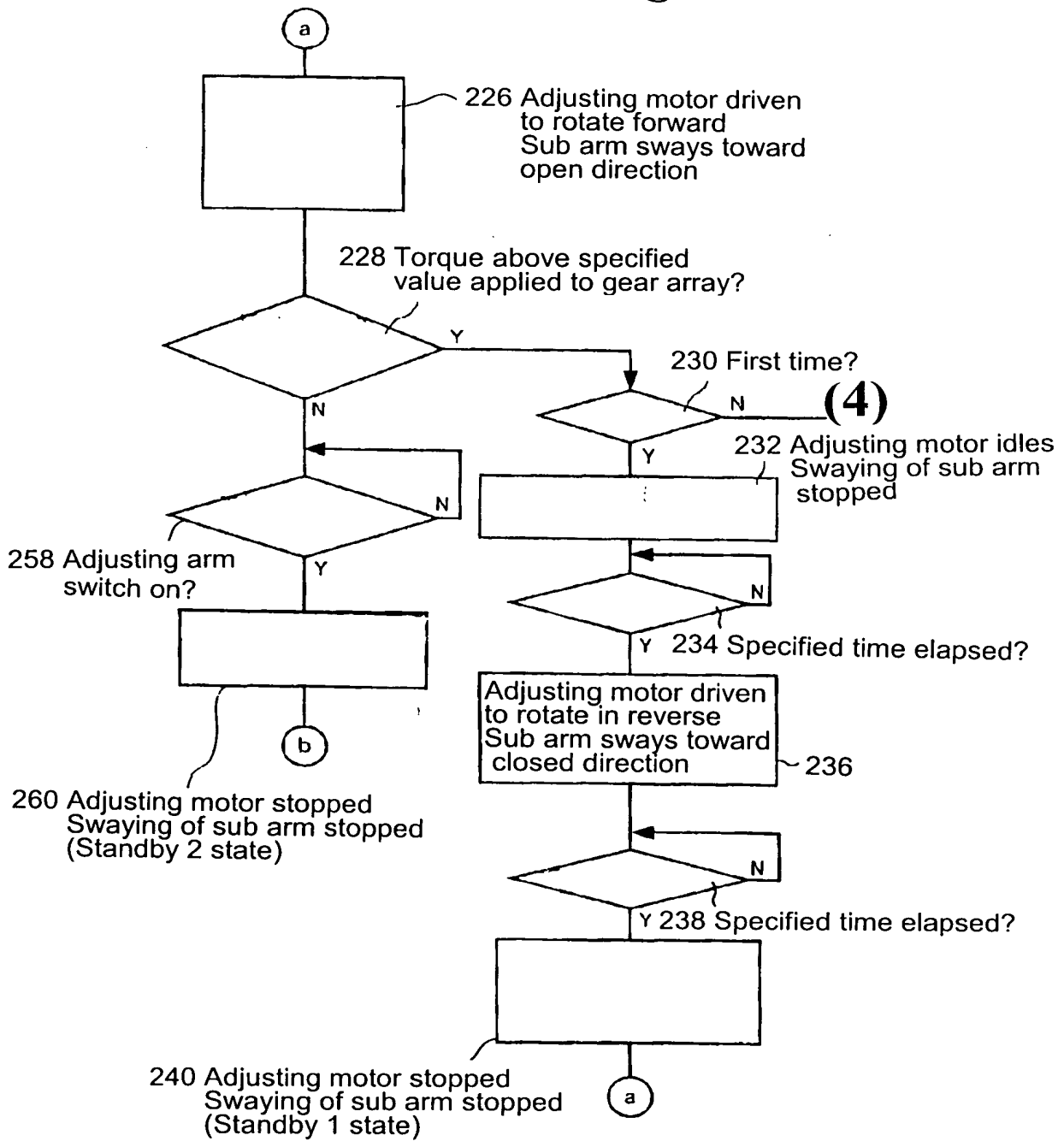


Fig. 29-2

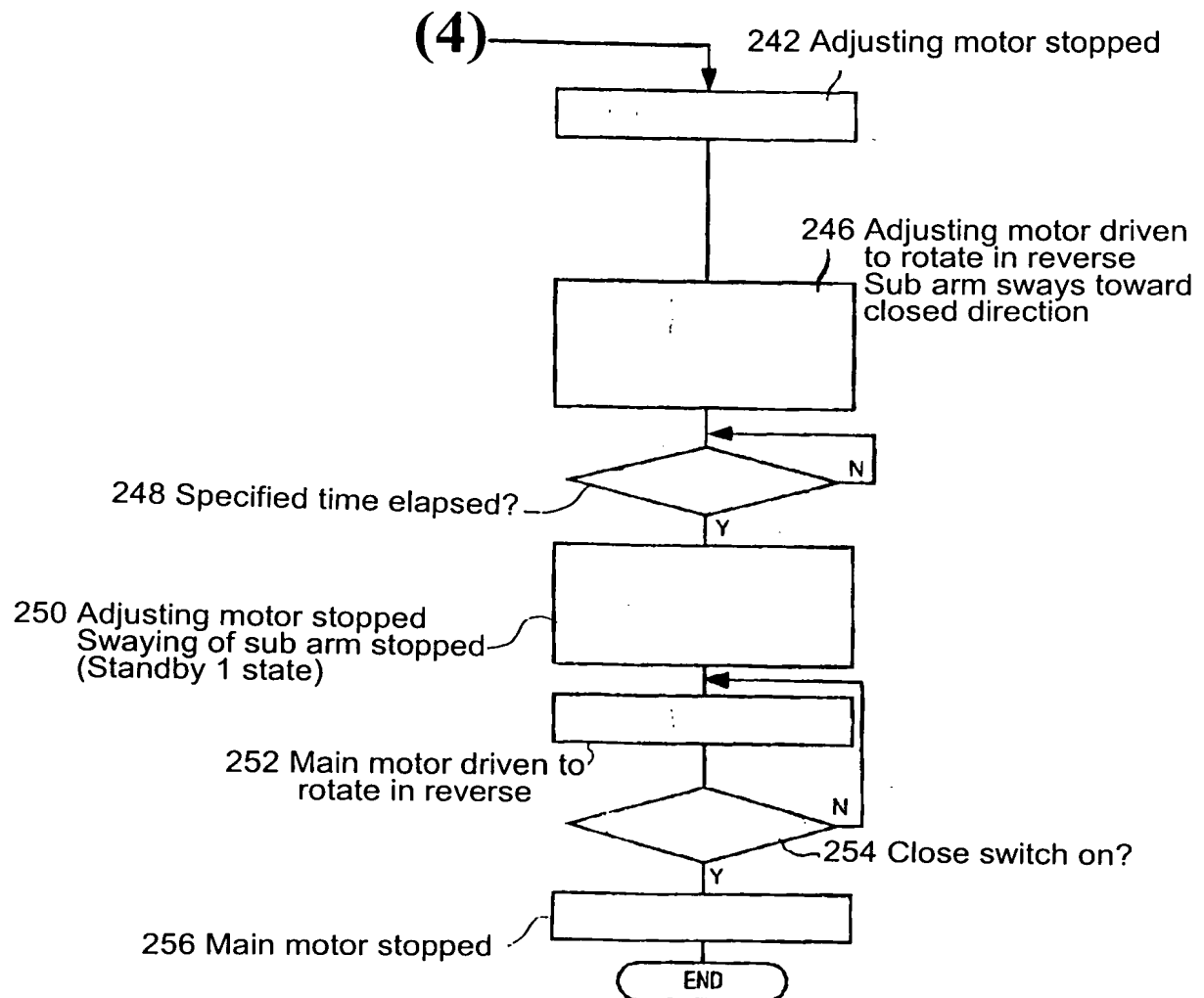


Fig. 30

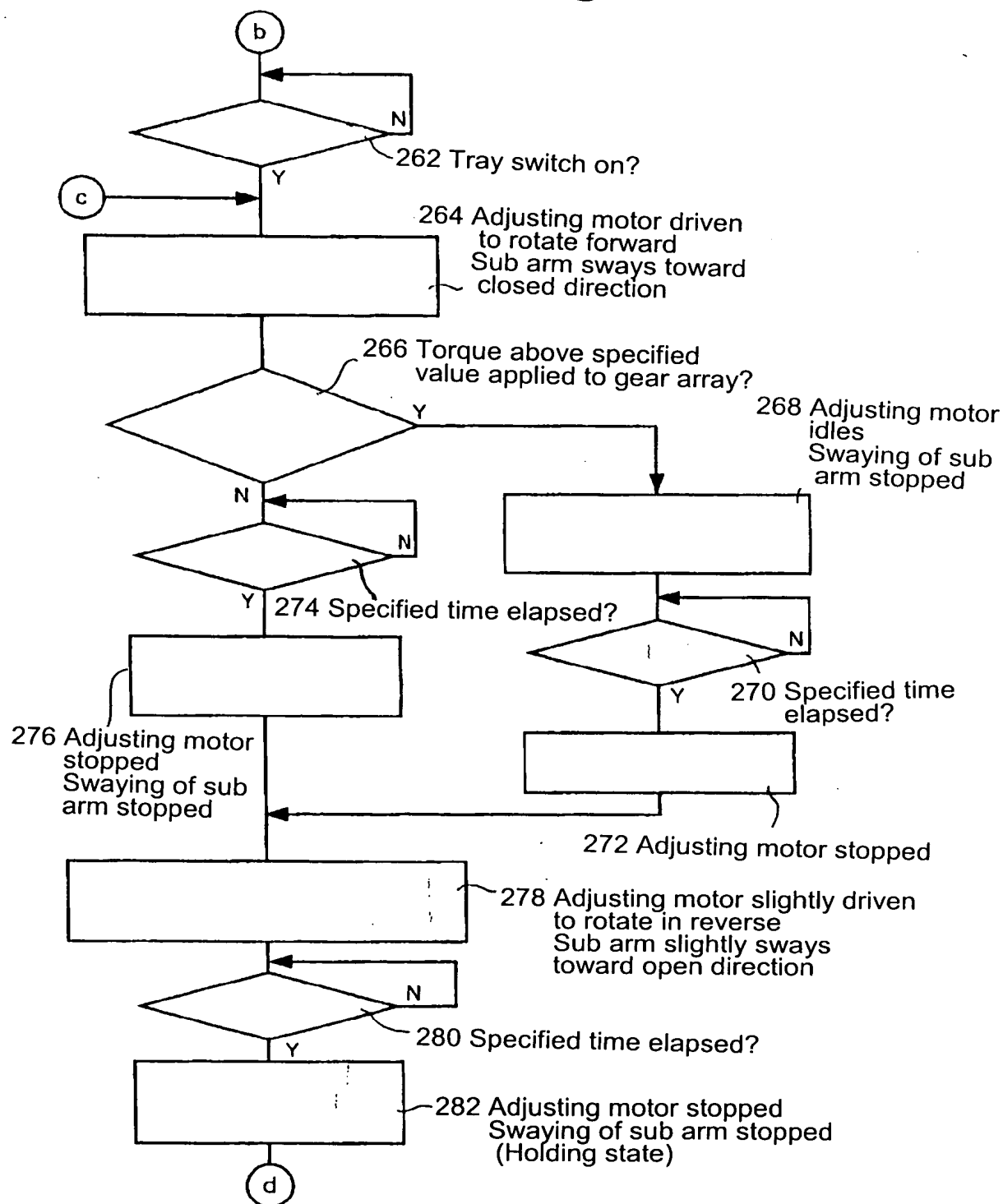


Fig. 31-1

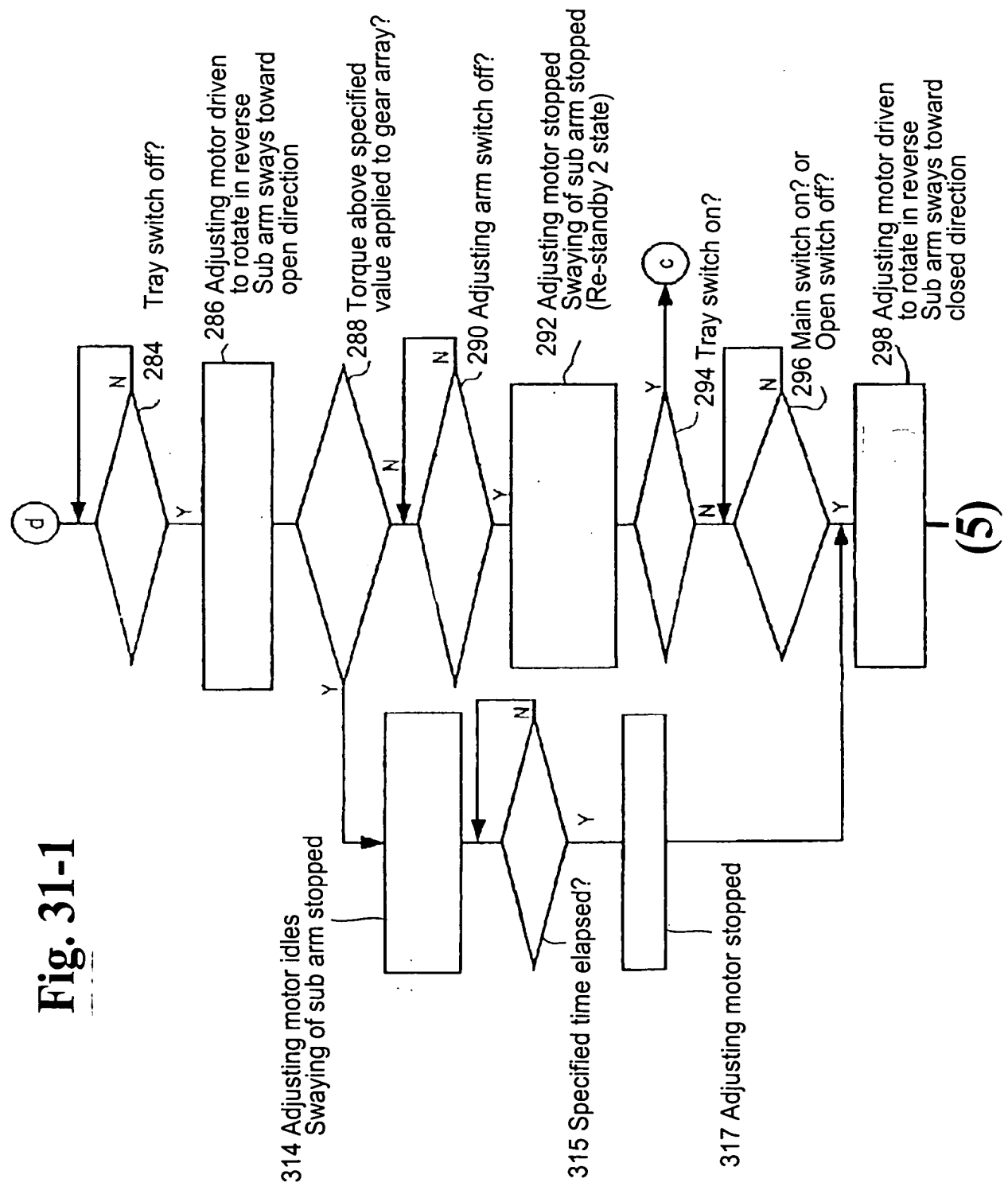


Fig. 31-2

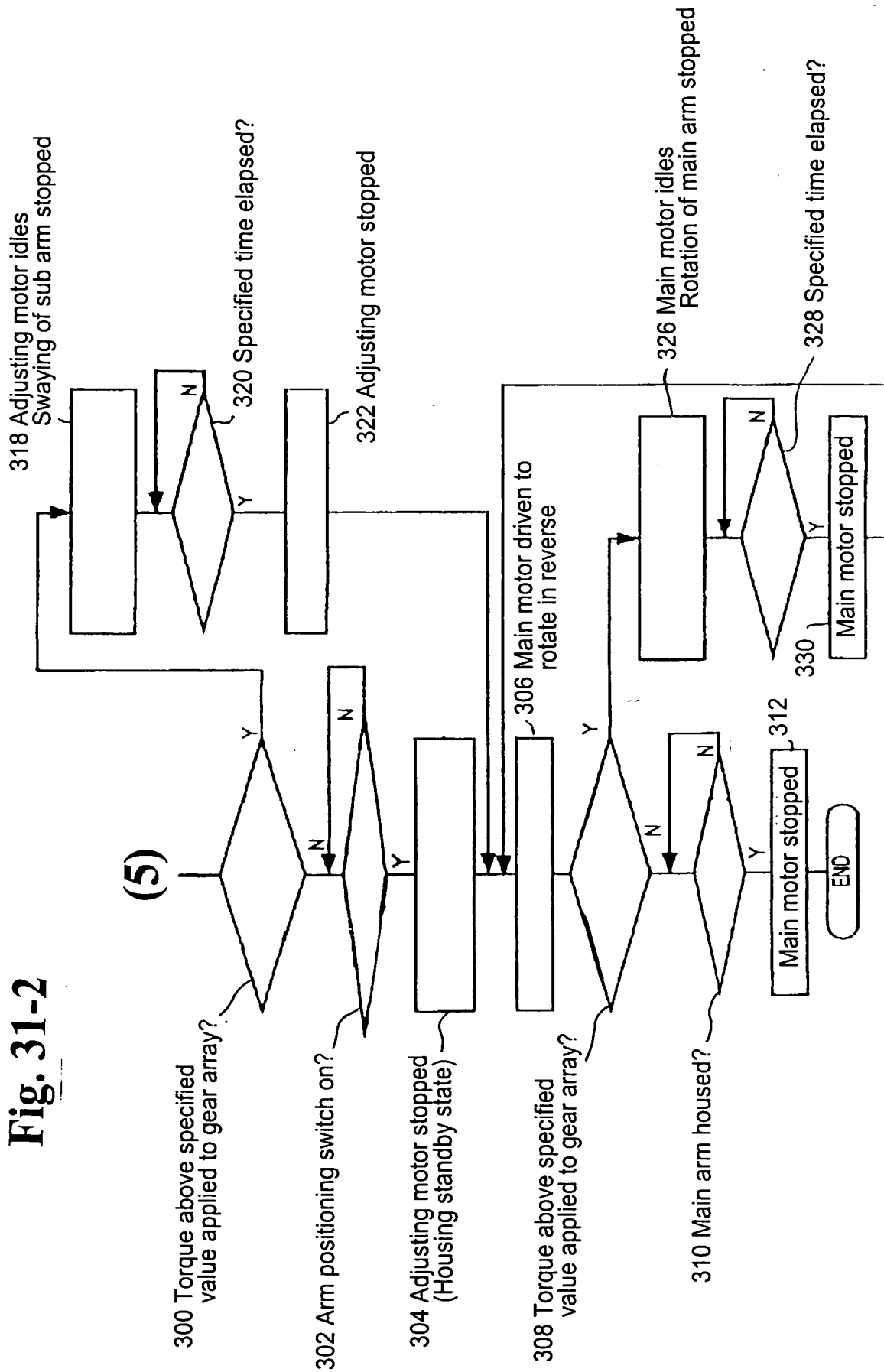


Fig. 32

Prior Art

